### Ligações em Estruturas Metálicas

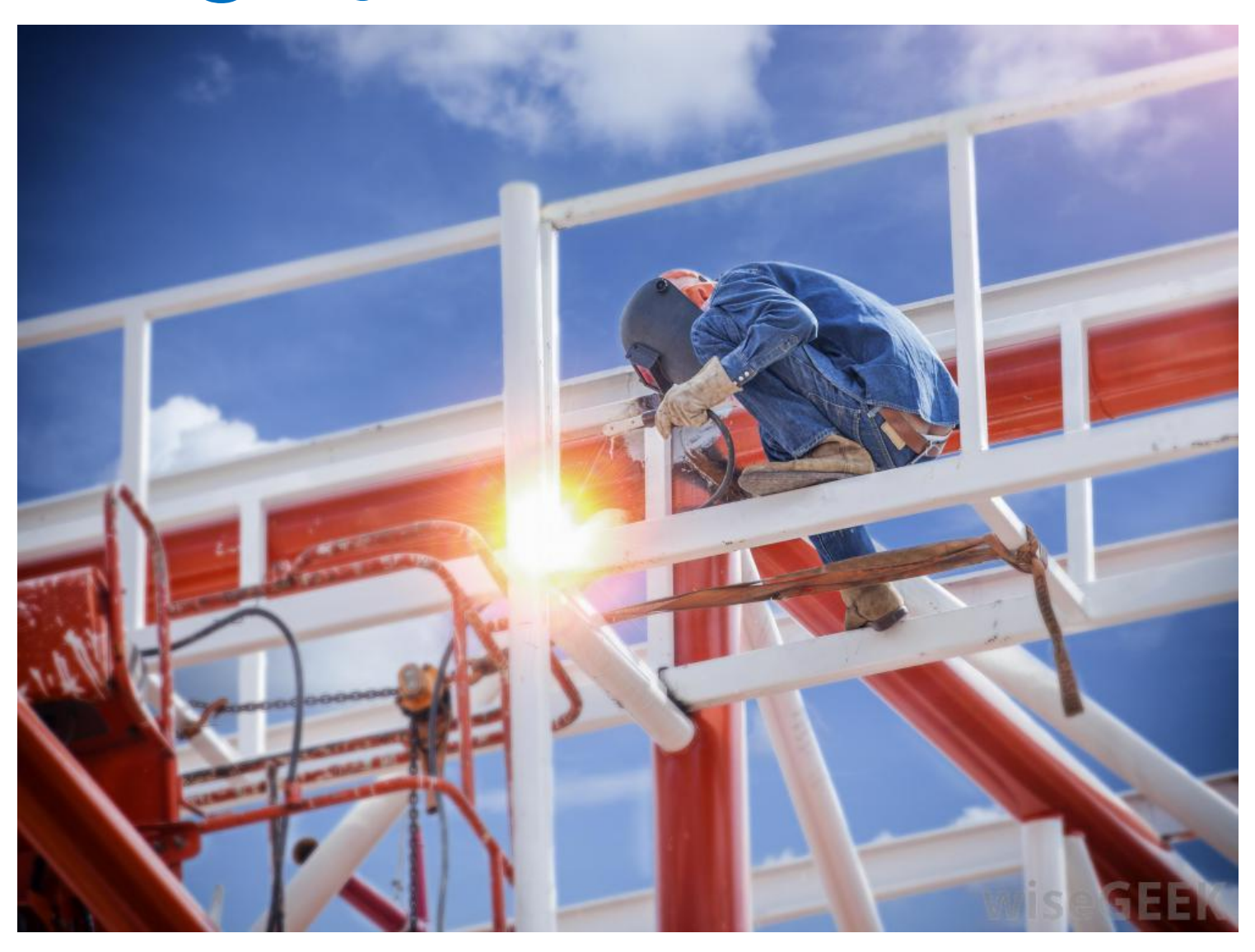
# Ligações Soldadas

Aula 1

#### Ligações Metálicas

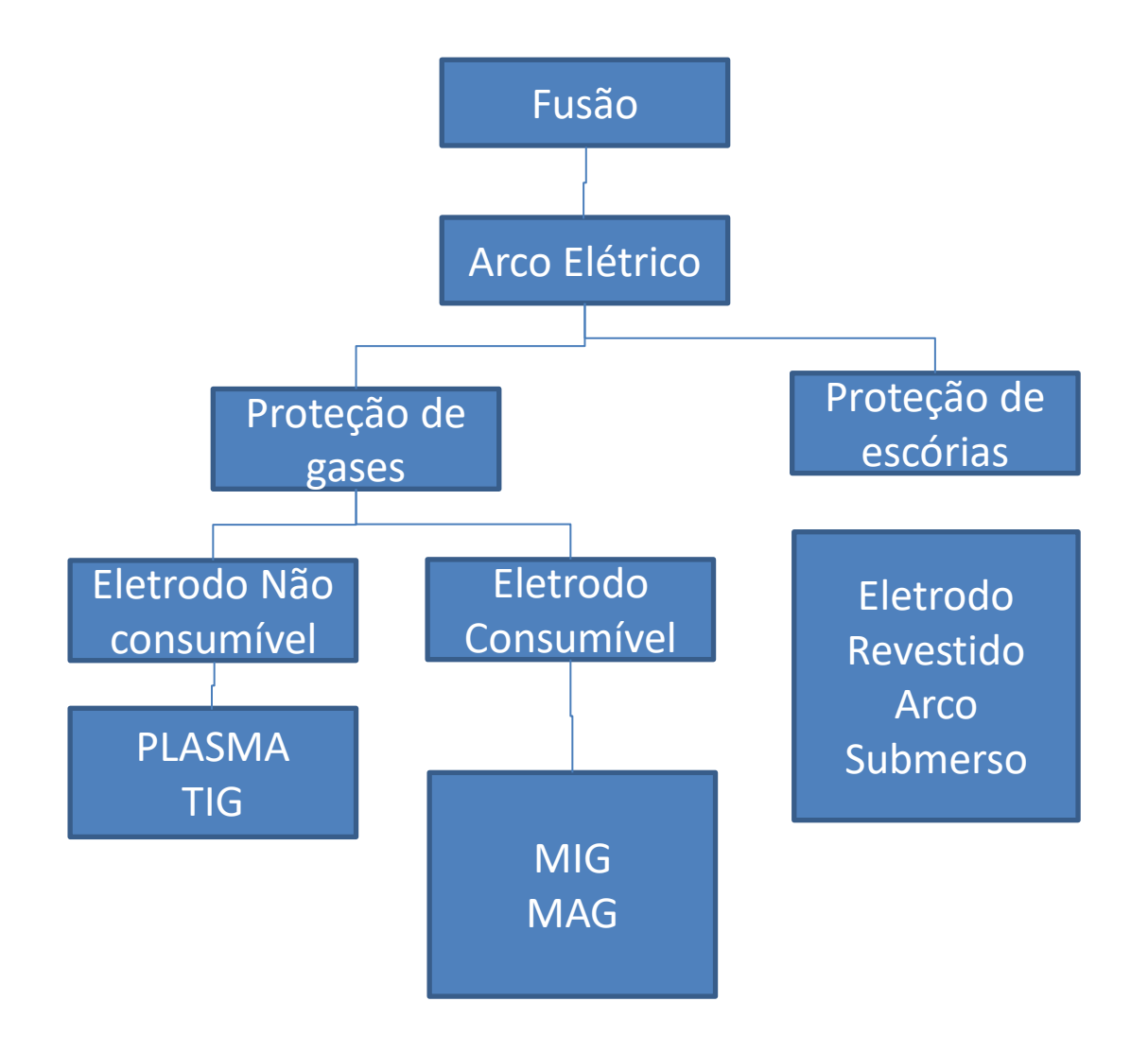


Curso de Projeto e Cálculo de Estruturas metálicas

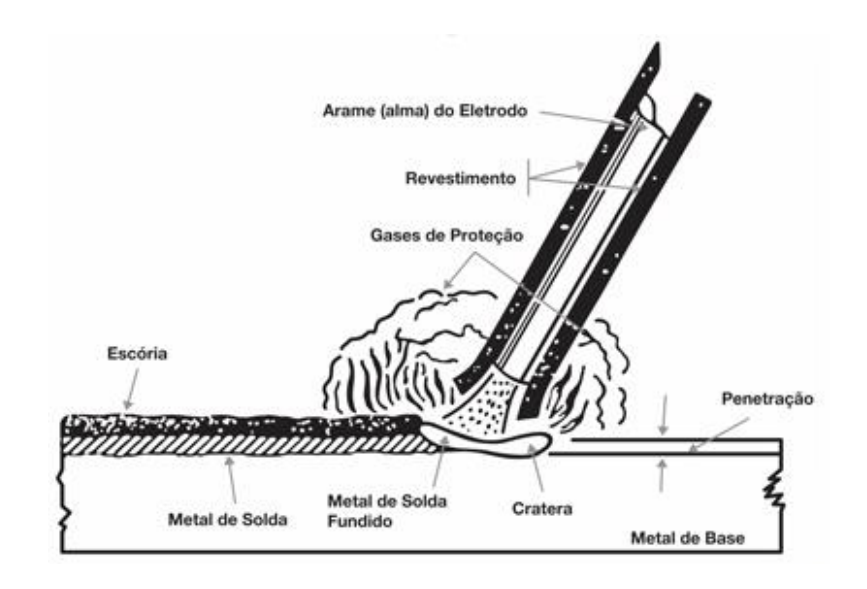


Curso de Projeto e Cálculo de Estruturas metálicas

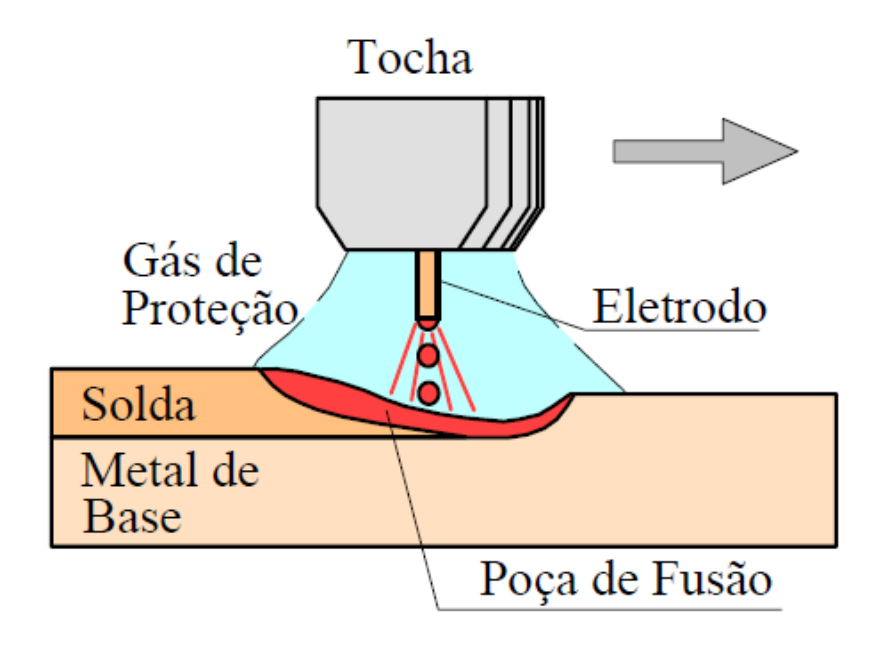
Soldagem é a união entre duas partes metálicas usando uma **fonte de calor**, com ou sem aplicação de pressão.



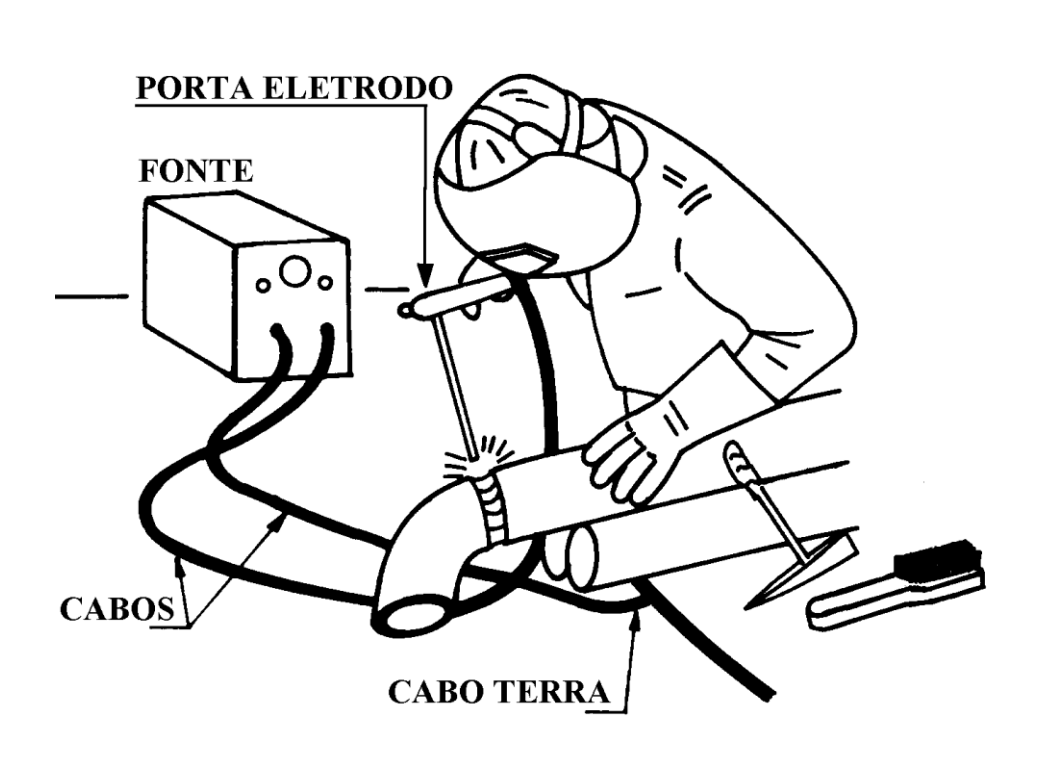
Proteção por escórias



Proteção por gases Inertes ou Ativos

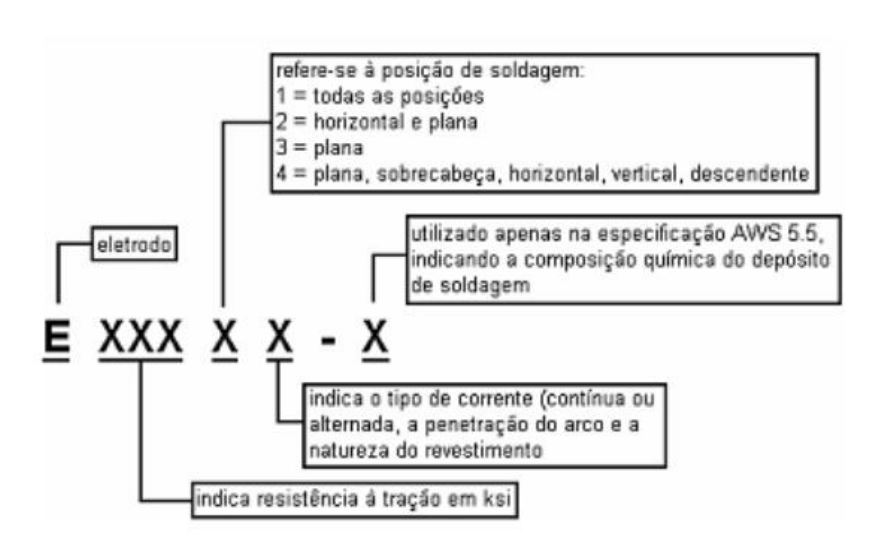


### Soldagem por Eletrodo Revestido



**SMAW**: Shielded Metal Arc Welding





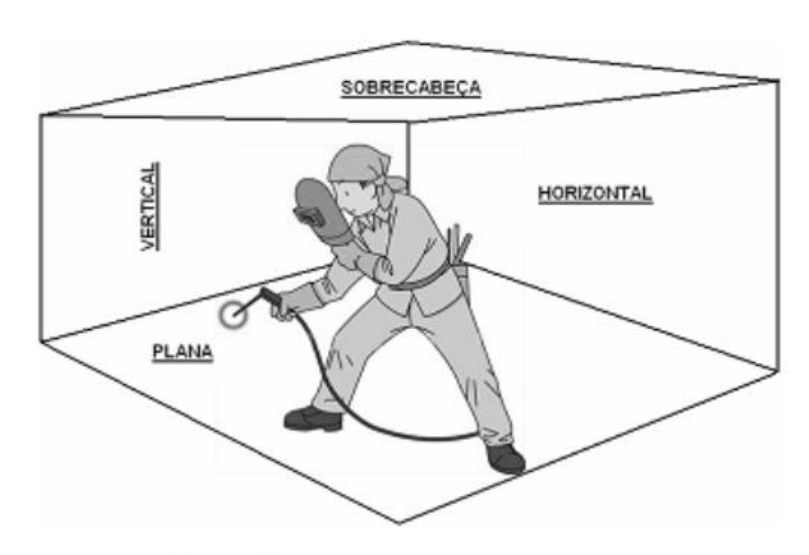


Figura 7 – Posições de soldagem e designação de eletrodos.

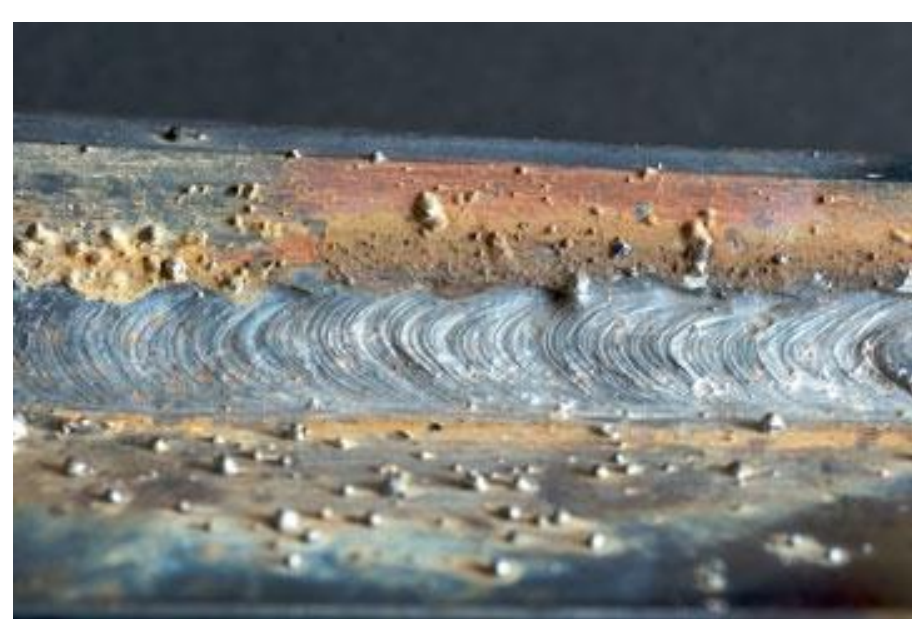
#### E 60 13

- Eletrodo Revestido
- Resistência À ruptura por tração de 60ksi (41,5 kN/cm²)
- Permite soldagem em todas as posições
- Revestimento rutílico com silicato de potássio. Recomendado para chapas finas

#### E 70 18

- Eletrodo Revestido
- Resistência À ruptura por tração de 70ksi (48,5 kN/cm²)
- Permite soldagem em todas as posições
- Requer maior habilidade, uso onde propriedades mecânicas e qualidade da soldagem sejam essenciais, alta penetração de pó de ferro.
   Recomendado em estruturas metálicas em geral







Curso de Projeto e Cálculo de Estruturas metálicas

# Soldagem por eletrodo protegido por gases

**GMAW**: GAS Metal Arc Welding



Curso de Projeto e Cálculo de Estruturas metálicas

# Soldagem por eletrodo protegido por gases

**MIG: METAL INERT GAS** 

Utiliza-se gases inertes para proteção da soldagem

**MAG: METAL ACTIVE GAS** 

Utiliza-se gases ativos para proteção da soldagem

**TIG: Tungsten Inert Gas** 

Utiliza-se um eletrodo de Tungstênio (não consumível) e um gás inerte na proteção da soldagem, além de um metal de adição

#### VANTAGENS DO GMAW

Não há formação de escórias

Penetração mais uniforme

Menor distorção e tensões residuais

Mais fácil (treinamento rápido)

**Maior Produtividade** 

#### DESVANTAGENS DO GMAW

Necessita proteção contra o vento

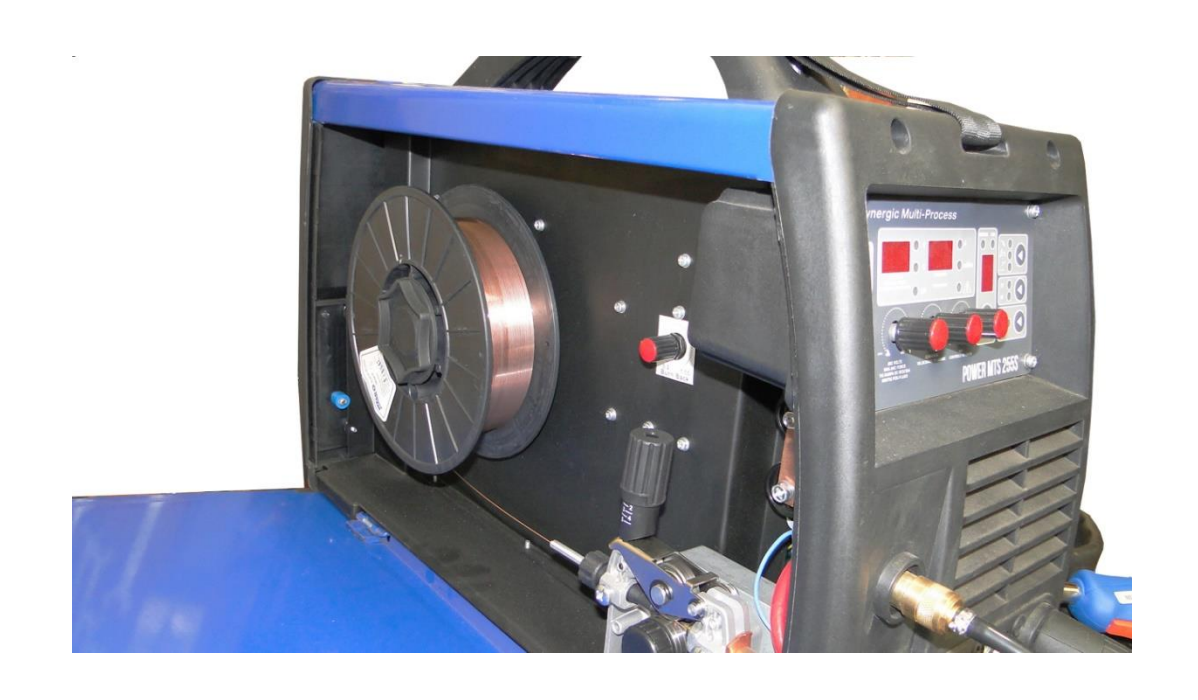
Não acessa lugares mais estreitos (devido ao bocal do gás)

**Equipamento grande** 

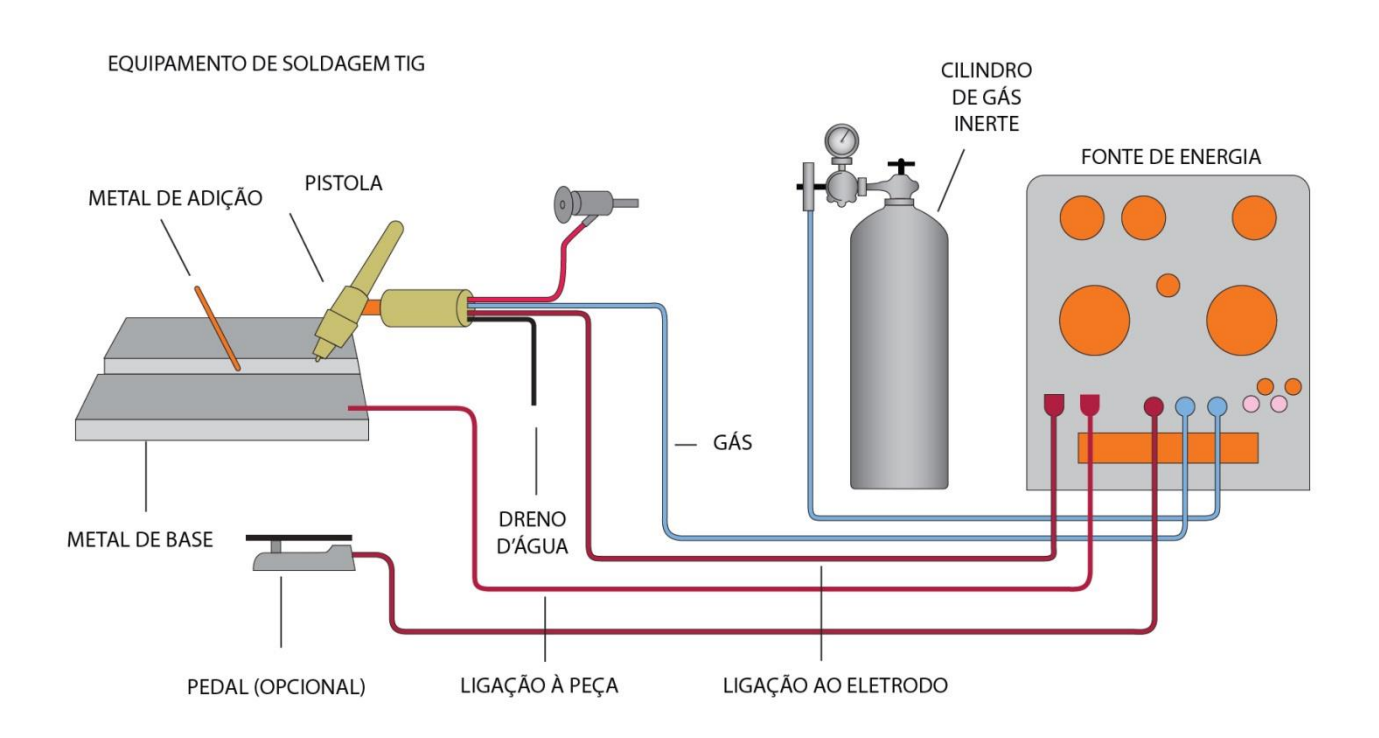
Custo do gás

#### Equipamento MIG/MAG





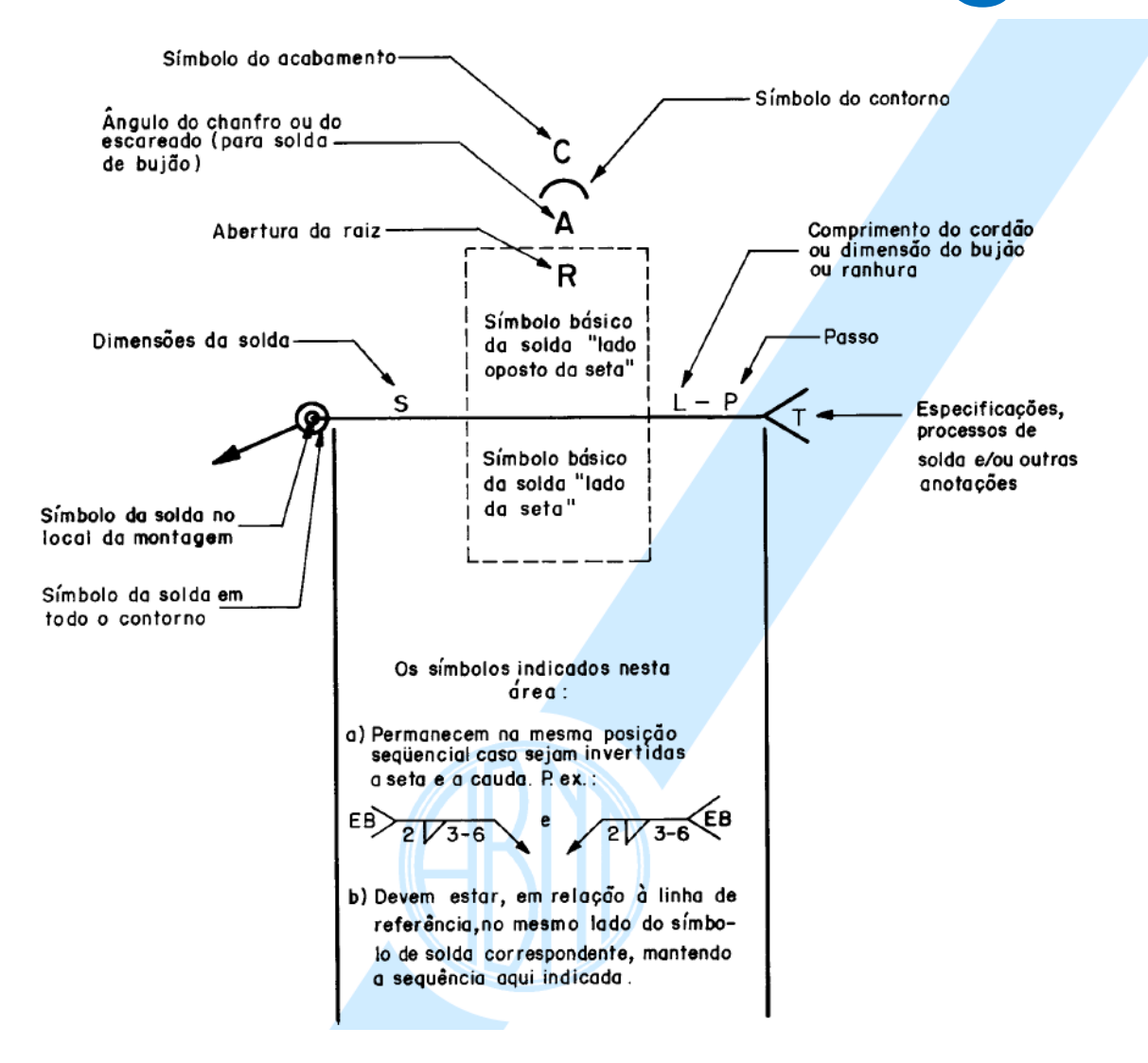
#### Equipamento TIG



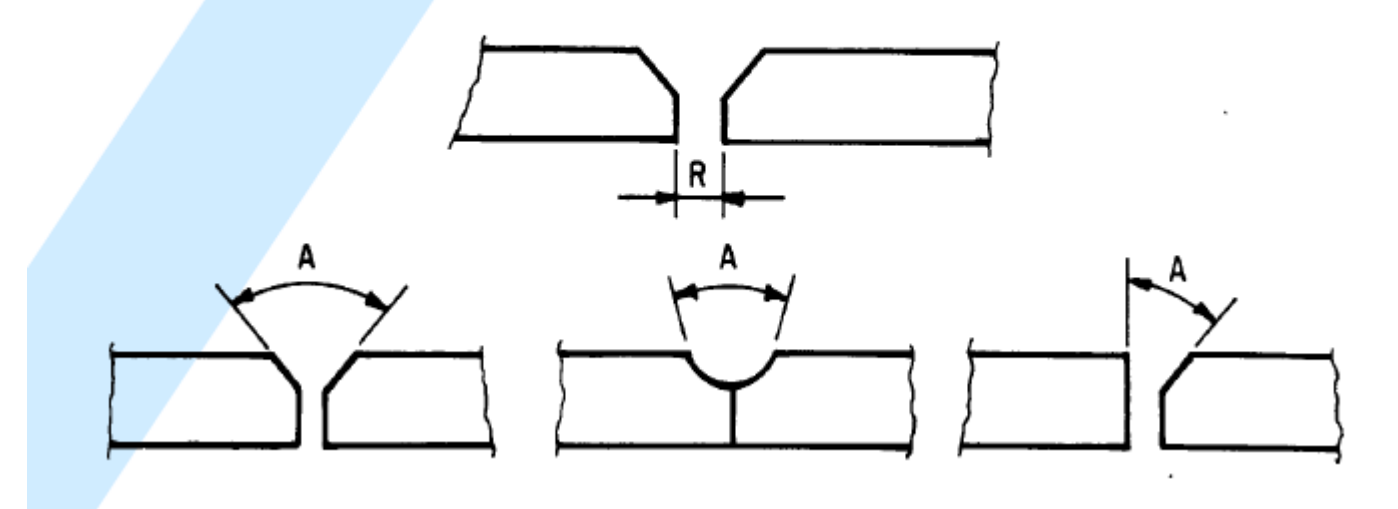
### Ligações em Estruturas Metálicas

# Ligações Soldadas

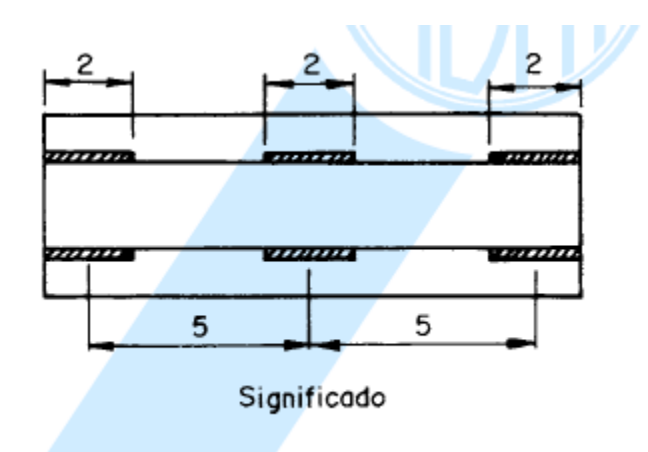
Aula 2

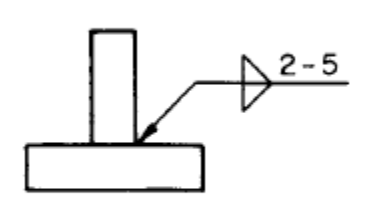


- a) passo espaçamento centro a centro das soldas, quando descontínuas;
- b) abertura da raiz (R) distância entre as peças a unir na raiz da junta;
- c) ângulo de chanfro ângulo formado entre os dois planos das extremidades das peças que formam o sulco para solda.

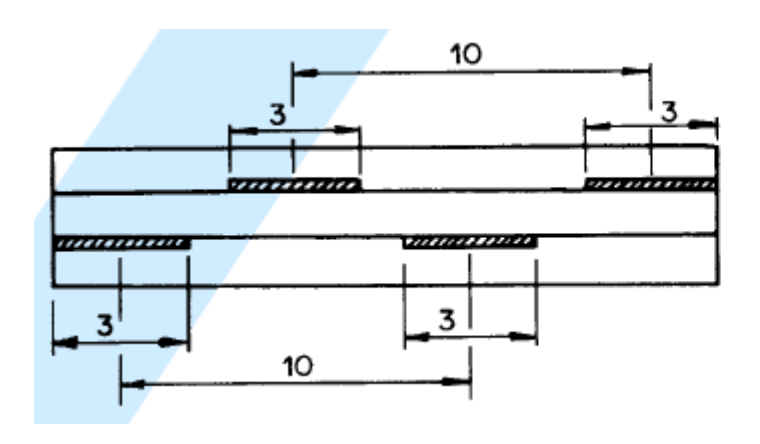


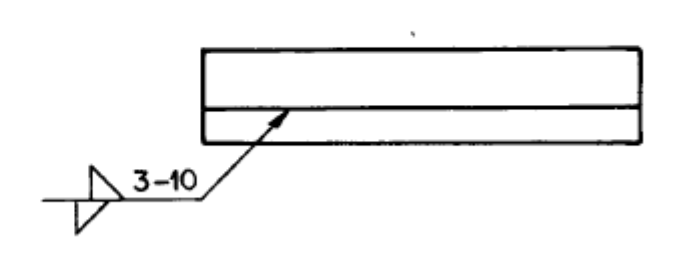
NBR 7165



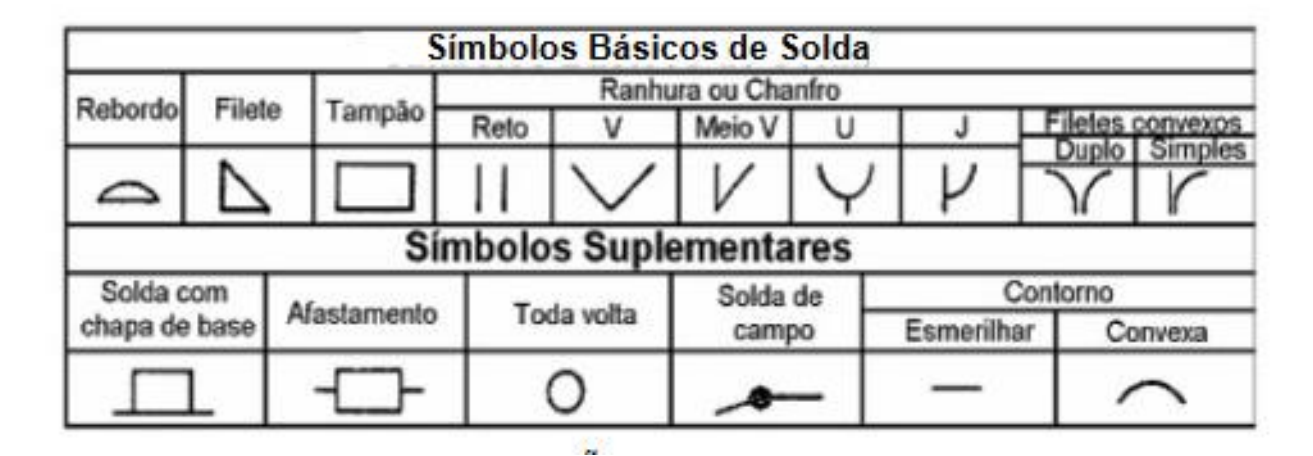


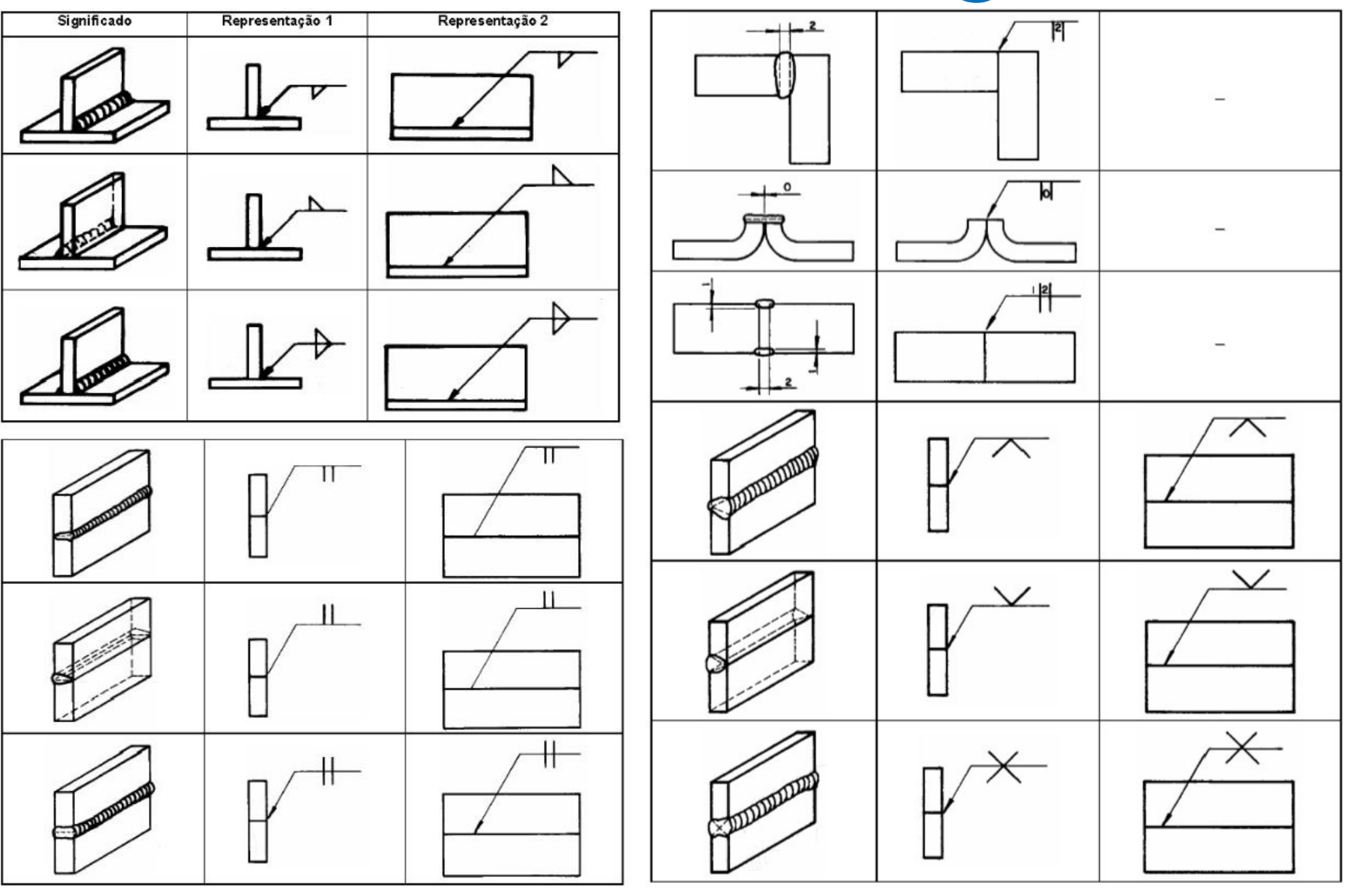
Representação



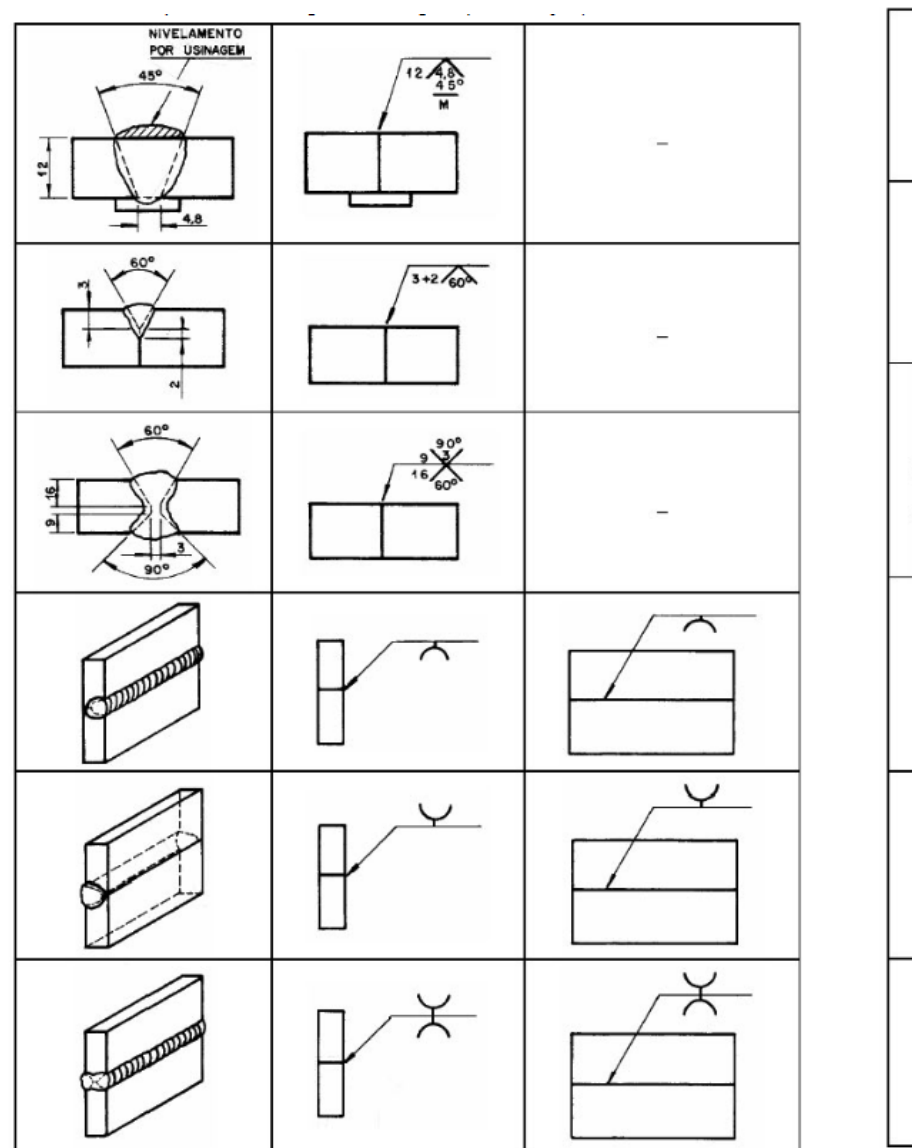


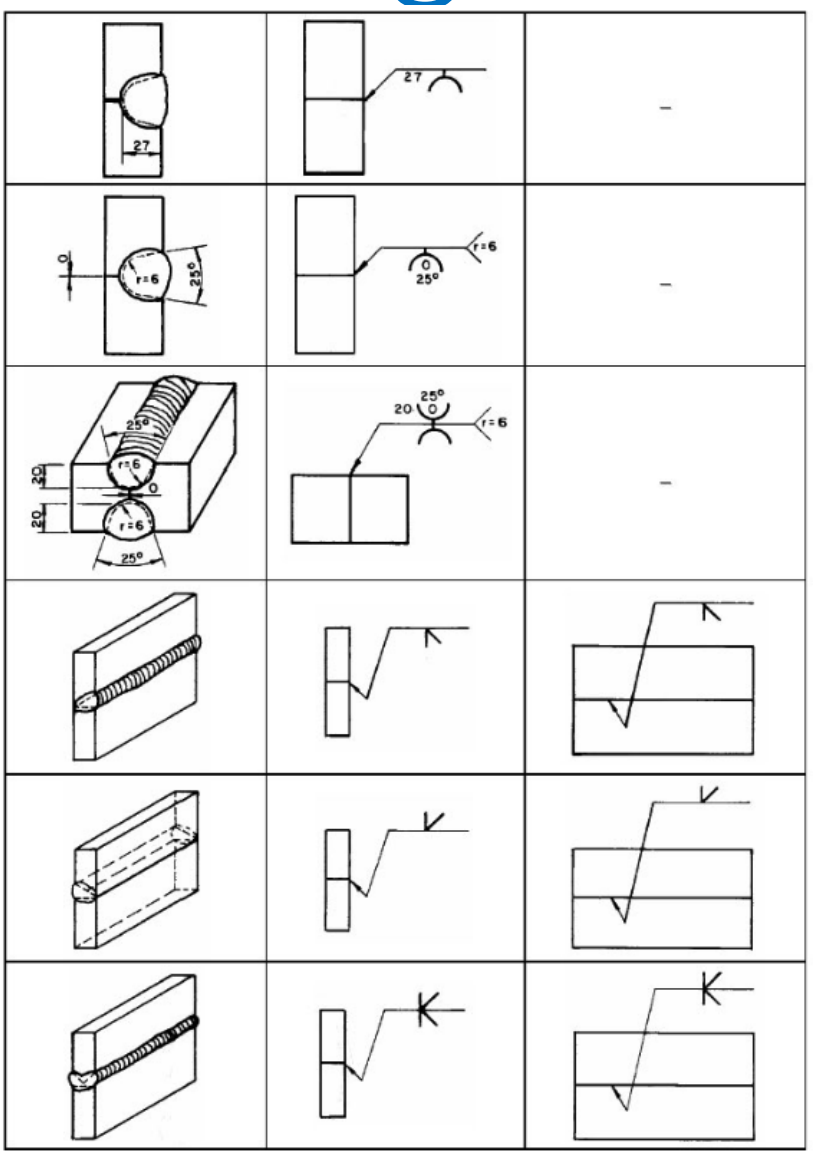
Curso de Projeto e Cálculo de Estruturas metálicas





Curso de Projeto e Cálculo de Estruturas metálicas





Curso de Projeto e Cálculo de Estruturas metálicas

#### ENSAIOS NÃO DESTRUTIVOS

Método de inspeção	Características	Limitações
Visual	O mais comum e mais econômico. Particularmente bom para soldas com um único passe.	Detecta somente trincas superficiais grosseiras, excessos e falta de solda e imperfeições.
Liquido penetrante	Utilizado quando a geometria da peça é complexa, dificultando a operação do equipamento de partículas magnéticas. Uso instantâneo em qualquer lugar. Detecta defeitos superficiais como trincas (microtrincas da ordem de 0,001 mm de largura), fissuras, porosidade, mordeduras.	Detecta somente descontinuidades superficiais. Ondulações de soldas reentrantes e ranhuras podem dar falsas indicações. Exame de custo mais elevado do que o de partículas magnéticas.
Partícula magnética	Detecta defeitos na superfície e sub- superfície como trincas, fissuras, porosidade, mordeduras e sobreposição, descontinuidades lineares da ordem de 0,5mm, além de descontinuidades mascaradas por esmerilhamento, óxidos etc., e as escondidas sob pinturas. É um exame mais rápido e econômico do que o anterior, Indicações podem ser coletadas e preservadas em fitas plásticas.	Requer relativa lisura da superficie. Falta de cuidado no uso de pontas magnetizadas podem desprezar defeitos de golpeamento de arco.  Necessita que o campo magnético seja gerado perpendicularmente à descontinuidade. Necessita em certos casos de desmagnetização da peça.  Limpeza posterior. Depende da força do campo magnético.
Radiográfico	Detecta defeitos internos como porosidade, escória, vazios, fissuras, irregularidades, falta de fusão. Indicado para espessuras entre 4 mm e 70 mm. Um filme negativo é registro permanente. Distinção mais fácil do tipo de descontinuidade detectada. Executado em qualquer tipo de superfície.	Defeitos devem ocupar mais que aproximadamente 1,5% da espessura para ser registrado. Somente fissuras paralelas ao colidimento são registradas. Necessidade de acesso pelos dois lados da superfície inspecionada. Radiação perigosa, havendo a necessidade de evacuação de todo pessoal próximo à área em que está sendo realizada a radiografia. Tempo de exposição aumenta com a espessura. Custo mais elevado do que o ultra-sónico. Resultado duvidoso para soldas de filete.
Ultra-sônico	Detecta fissuras em qualquer orientação, escória, falta de fusão, inclusões, rupturas lamelares, vazios. Pode examinar minuciosamente quase qualquer espessura comercial. Alta sensibilidade na detecção de pequenos defeitos. Precisão na localização da descontinuidade e estimativa do tamanho. Inspeção rápida. Necessidade de acesso por somente uma superfície do elemento ensaiado.	Superficies devem ser lisas. Equipamento deve ser frequentemente calibrado. Operador deve ser qualificado. Grânulos excessivamente grosseiros fornecem falsas indicações. Defeitos classificados por tamanho podem não ser muito exatos. O sistema pode ser sensível a pequenos defeitos que não são nocivos à estrutura. Falta de registro permanente. Dificil aplicação em peças de geometria complexa.

#### ONDE USAR CADA SOLDA

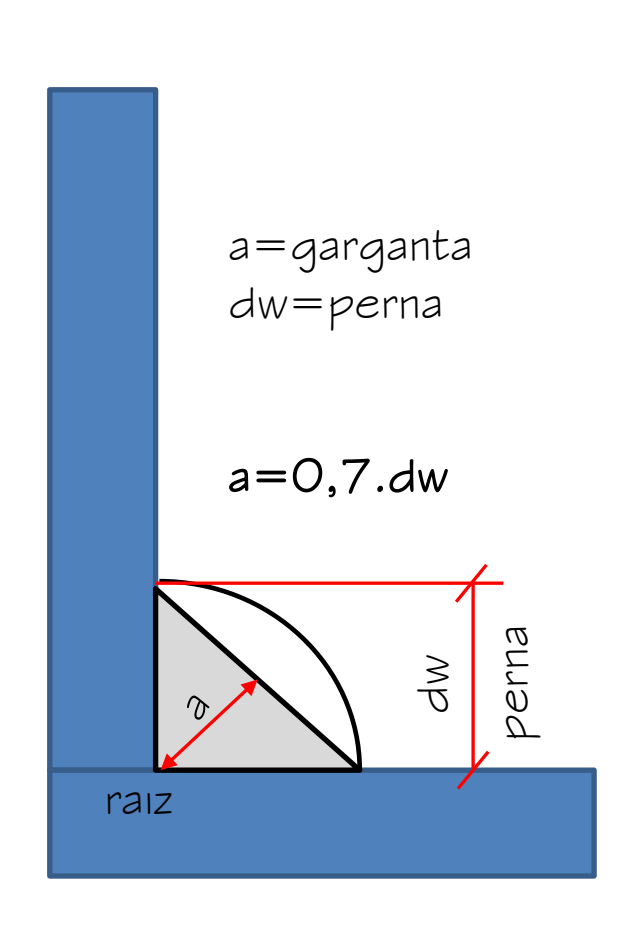
	Metal-base			Metal da solda compatível			
	ABNT	АЅТМ	Arco elétrico com eletrodo revestido (SMAW)	Arco submerso (SAW)	Arco elétrico com proteção gasosa (GMAW)	Arco elétrico com fluxo no núcleo (FCAW)	
Grupo I	NBR 6648 (CG-26 - $t \le 20$ mm) NBR 6649 (CF-26) NBR 6650 (CF-26) NBR 7007 (MR 250 - $t \le 19$ mm)	A36 ( <i>t</i> ≤ 19 mm) A500 Grau A A500 Grau B	AWS A5.1 - E60XX, E70XX AWS A5.5 ° - E70XX-X	AWS A5.17 - F6XX-EXXX, F6XX-ECXXX, F7XX-EXXX, F7XX-ECXXX AWS A5.23 e - F7XX-EXXX-XX, F7XX-EXXX-XX,	AWS A5.18 - ER70S-X, E70C-XC, E70C-XM (exceto -GS) AWS A5.28 <sup>e</sup> - ER70S-XXX, E70C- XXX	AWS A5.20 - E6XT-X, E6XT-XM, E7XT-X, E7XT-XM (exceto -2, -2M, -3, - 10, -13, -14 e -GS e exceto -11 com espessura superior a 12 mm) AWS A5.29 e - E6XTX-X, E6XT-XM, E7XTX-X, E7XTX-XM	
Grupo II	NBR 5000 (G-30) NBR 5000 (G-35) NBR 5004 (F-32/Q-32) NBR 5004 (F-35/Q-35) NBR 5004 (Q-40) NBR 5008 (CGR 400) d NBR 5008 (CGR 500) d NBR 5908 (CGR 500) d NBR 5920 (CFR 500) d NBR 5921 (CFR 400) d NBR 5921 (CFR 500) d NBR 5921 (CFR 500) d NBR 5921 (CFR 500) d NBR 6648 (CG-26 –  t > 19 mm) NBR 6648 (CG-28) NBR 6649 (CF-28) NBR 6650 (CF-28) NBR 6650 (CF-30) NBR 7007 (MR 250 -  t > 19 mm) NBR 7007 (AR-350) NBR 7007 (AR-350) NBR 7007 (AR-350 COR) NBR 8261 (Graus B e C)	A36 ( <i>t</i> > 19 mm) A242 <sup>d)</sup> A572 Grau 42 A572 Grau 50 A572 Grau 55 A992 A588 <sup>d</sup>	AWS A5.1 - E7015, E7016, E7018, E7028 AWS A5.5 ° - E7015-X, E7016-X, E7018-X	AWS A5.17 - F7XX-EXXX, F7XX-ECXXX AWS A5.23 ° - F7XX-EXXX-XX, F7XX-ECXXX-XX	AWS A5.18 - ER70S-X, E70C-XC, E70C-XM (exceto -GS) AWS A5.28 <sup>e</sup> - ER70S-XXX, E70C- XXX	AWS A5.20 - E7XT-X, E7XT-XM (exceto -2, -2M, -3, -10, -13, -14 e -GS e exceto -11 com espessura superior a 12 mm)  AWS A5.29 <sup>e)</sup> - E7XTX-X, E7XTX-XM	
Grupo III	NBR 5000 (G-42) NBR 5000 (G-45) NBR 5004 (Q-42) NBR 5004 (Q-45) NBR 7007 (AR-415)	A572 Grau 60 A572 Grau 65 A913 °	AWS A5.5 <sup>e</sup> - E8015-X, E8016-X, E8018-X	AWS A5.23 ° - F8XX-EXXX-XX, F8XX-ECXXX-XX	AWS A5.28 <sup>e</sup> - ER80S-XXX, E80C-XXX	AWS A5.29 ° - E8XTX-X, E8XTX-XM	

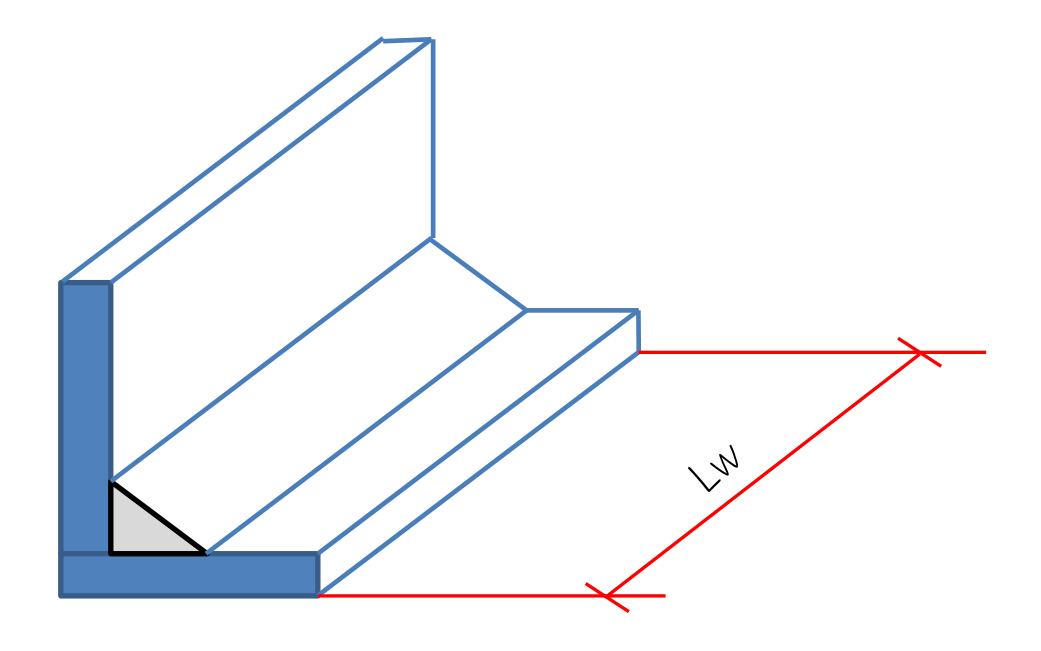
### Ligações em Estruturas Metálicas

# Ligações Soldadas

Aula 3

#### Soldas de Filete





Ruptura da solda na seção efetiva

$$F_{w,Rd} = \frac{0.60 \cdot A_w \cdot F_w}{1.35}$$
  $Aw = Lw \cdot a$ 

$$F_{Rd} = \frac{0.60 \cdot A_{MB} \cdot F_{y}}{1.10}$$
  $A_{MB} = L_{w} \cdot d_{w}$ 

#### Soldas de Filete

Cisalhamento admissível no filete de solda (kN/cm)

dw(mm)	a=0,7.Dw (cm)	E60XX	E70XX
3	0,21	3,87	4,53
4	0,28	5,16	6,04
5	0,35	6,46	7,54
6	0,42	7,75	9,05
7	0,49	9,04	10,56
8	0,56	10,33	12,07
9	0,63	11,62	13,58
10	0,7	12,91	15,09
11	0,77	14,20	16,60
12	0,84	15,49	18,11
13	0,91	16,78	19,62
14	0,98	18,08	21,12
15	1,05	19,37	22,63
16	1,12	20,66	24,14
17	1,19	21,95	25,65
18	1,26	23,24	27,16
19	1,33	24,53	28,67
20	1,4	25,82	30,18
21	1,47	27,11	31,69
22	1,54	28,40	33,20
23	1,61	29,70	34,70
24	1,68	30,99	36,21
25	1,75	32,28	37,72

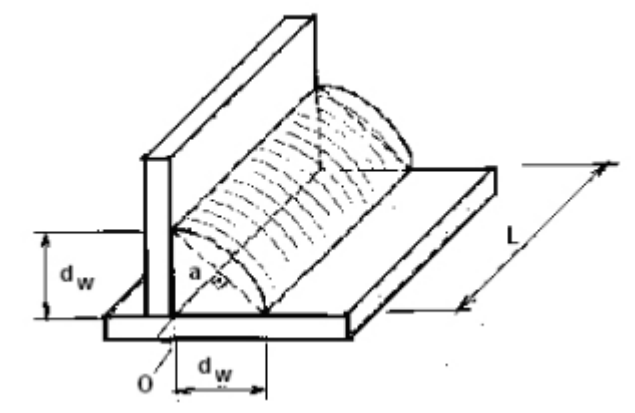
#### Dimensões mínimas

Tabela 10 — Tamanho mínimo da perna de uma solda de filete

Menor espessura do metal-base na junta mm	Tamanho mínimo da perna da solda de filete, $d_{ m w}$ $^{ m a}$ $^{ m mm}$	
Abaixo de 6,35 e até 6,35	3	
Acima de 6,35 até 12,5	5	
Acima de 12,5 até 19	6	
Acima de 19	8	
<sup>a</sup> Executadas somente com um passe.		

Tabela 9 — Espessura mínima da garganta efetiva de uma solda de penetração parcial

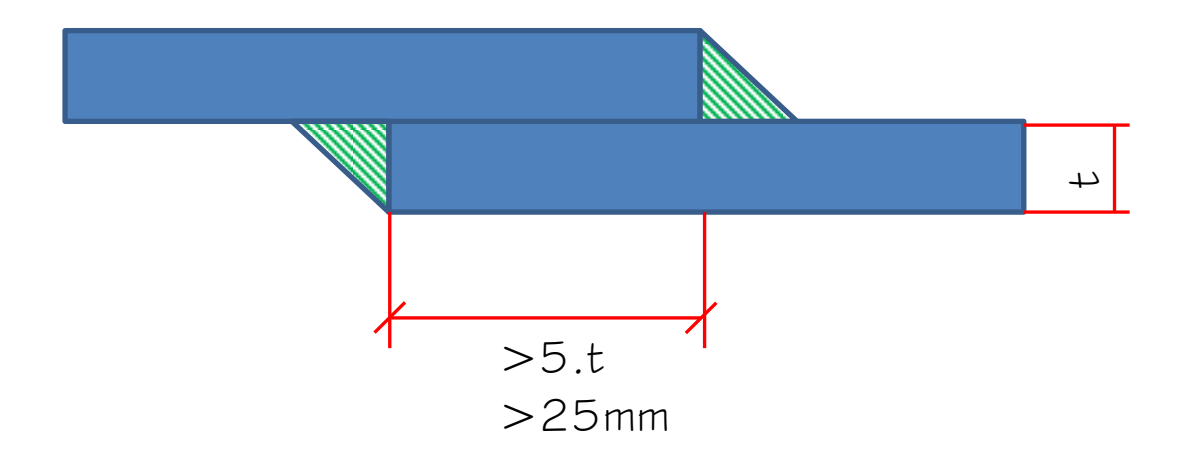
Menor espessura do metal-base na junta mm	Espessura mínima da garganta efetiva <sup>a</sup> mm	
Abaixo de 6,35 e até 6,35	3	
Acima de 6,35 até 12,5	5	
Acima de 12,5 até 19	6	
Acima de 19 até 37,5	8	
Acima de 37,5 até 57	10	
Acima de 57 até 152	13	
Acima de 152	16	
<sup>a</sup> Ver 6.2.2 para definição de garganta efetiva.		



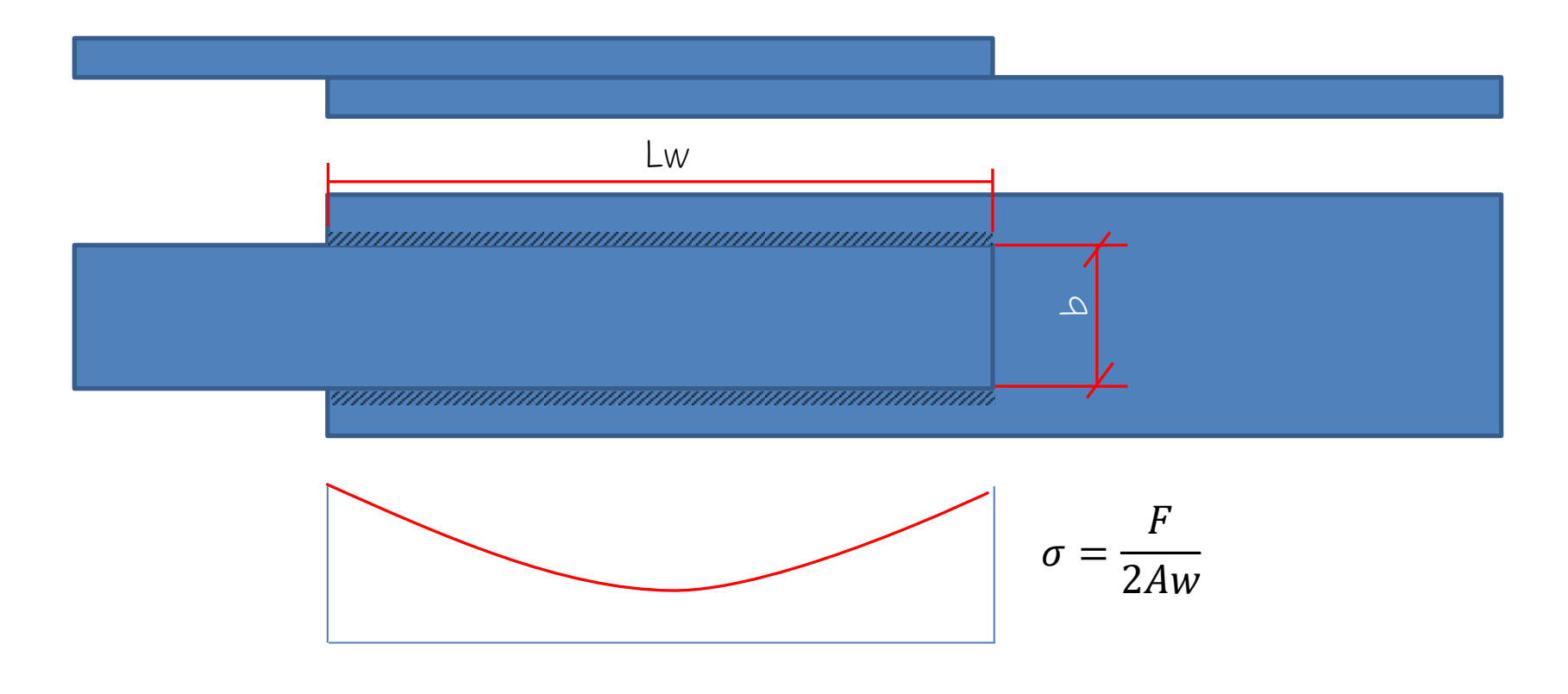
- **6.2.6.2.2** O tamanho máximo da perna de uma solda de filete que pode ser usado ao longo de bordas de partes soldadas é o seguinte:
- a) ao longo de bordas de material com espessura inferior a 6,35 mm, n\u00e3o mais do que a espessura do material;
- ao longo de bordas de material com espessura igual ou superior a 6,35 mm, não mais do que a espessura do material subtraída de 1,5 mm, a não ser que nos desenhos essa solda seja indicada como reforçada durante a execução, de modo a obter a espessura total desejada da garganta.
- **6.2.6.2.4** Podem ser usadas soldas intermitentes de filete, dimensionadas para transmitir solicitações de cálculo, quando a resistência de cálculo exigida for inferior à de uma solda contínua do menor tamanho de perna permitido, e também para ligar elementos de barras compostas. O comprimento efetivo de qualquer segmento de solda intermitente de filete não pode ser menor que 4 vezes o tamanho da perna, nem menor que 40 mm. O uso de soldas intermitentes requer cuidados especiais com flambagens locais e com corrosão.

#### Dimensões mínimas

- **6.2.6.2.2** O tamanho máximo da perna de uma solda de filete que pode ser usado ao longo de bordas de partes soldadas é o seguinte:
- a) ao longo de bordas de material com espessura inferior a 6,35 mm, n\u00e3o mais do que a espessura do material;
- b) ao longo de bordas de material com espessura igual ou superior a 6,35 mm, não mais do que a espessura do material subtraída de 1,5 mm, a não ser que nos desenhos essa solda seja indicada como reforçada durante a execução, de modo a obter a espessura total desejada da garganta.

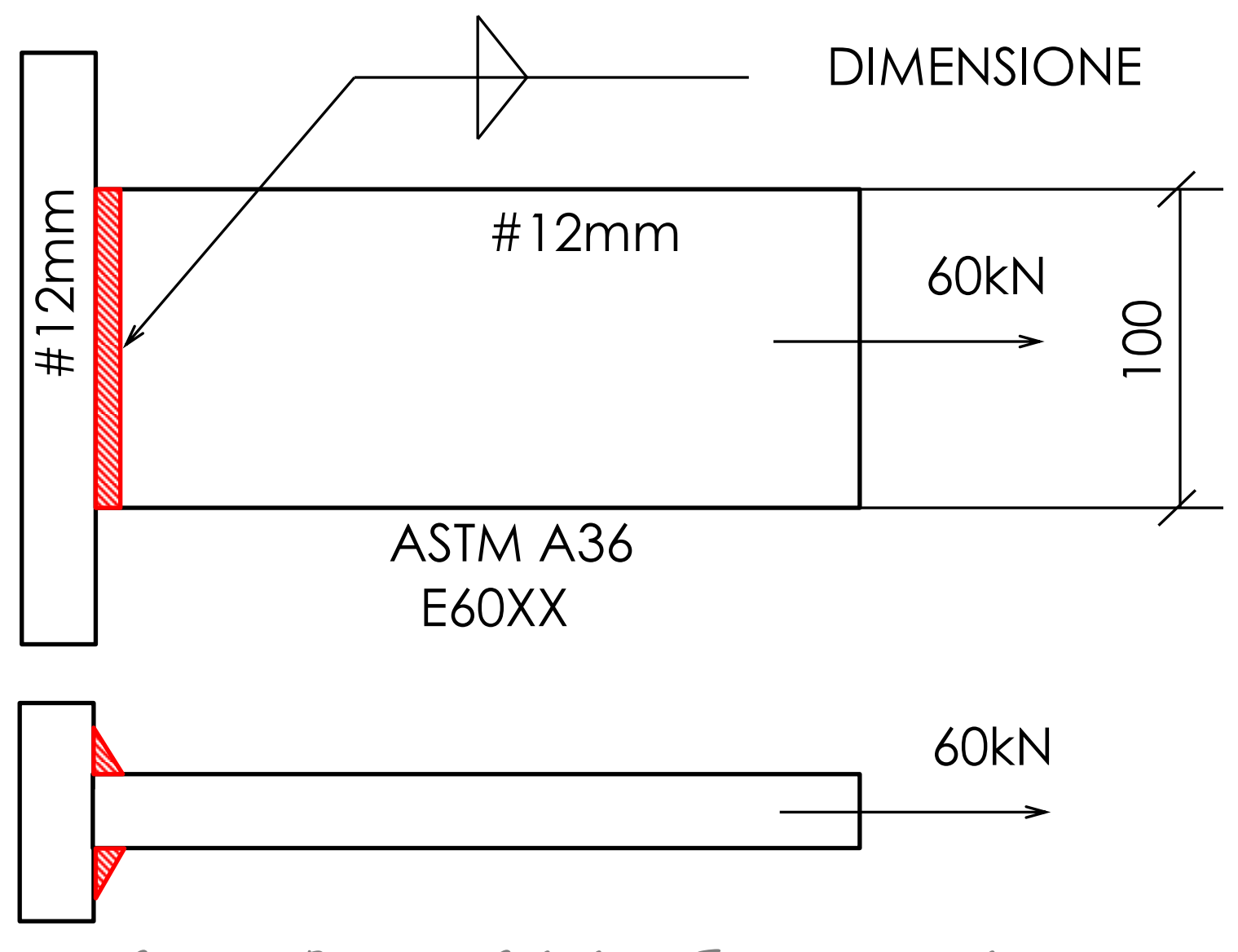


#### Dimensões mínimas



Se Lw>100b , multiplicar Lw pelo fator: 
$$\beta=1.2-\frac{0.002Lw}{b}$$

Sendo que  $0.6 \le \beta \le 1.0$ 



#### **SOLDA DE FILETE**

Ruptura da solda na seção efetiva

$$F_{w,Rd} = \frac{0,60.A_w.F_w}{1,35}$$

$$F_{w,Rd} = \frac{0,60.2 \cdot 10 \cdot 0,5 \cdot 0,7.41,5}{1,35}$$

$$F_{w,Rd} = \frac{0,60.2.10.0,5.0,7.41,5}{1,35}$$

$$F_{w,Rd} = 129.1 \ kN > 60 \text{kN OK!!!}$$

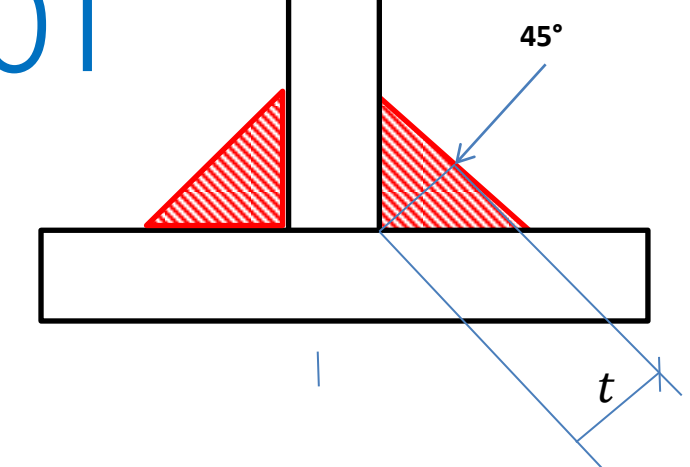


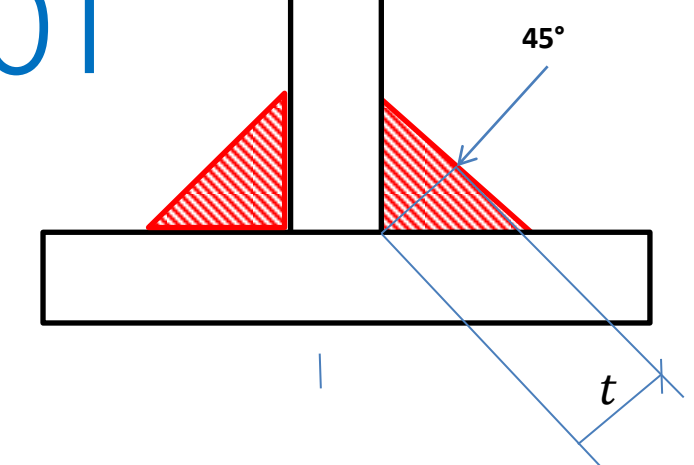
Tabela 10 — Tamanho mínimo da perna de uma solda de filete

Menor espessura do metal-base na junta mm	Tamanho mínimo da perna da solda de filete, $d_{ m w}$ $^{ m a}$ mm	
Abaixo de 6,35 e até 6,35	3	
Acima de 6,35 até 12,5	5	
Acima de 12,5 até 19	6	
Acima de 19	8	
a Executadas somente com um passe.		

#### **SOLDA DE FILETE**

#### Ruptura da solda na seção efetiva

	ua solaa na seçao		
dw(mm)	a = 0,7.Dw (cm)	E60XX	E70XX
3	0,21	3,87	4,53
4	0,28	5.16	6,04
5	0,35	6,46	7,54
6	0,42	7,75	9,05
7	0,49	9,04	10,56
8	0,56	10,33	12,07
9	0,63	11,62	13,58
10	0,7	12,91	15,09
1.1	0,77	14,20	16,60
12	0,84	15,49	18,11
13	0,91	16,78	19,62
14	0,98	18,08	21,12
15	1,05	19,37	22,63
16	1,12	20,66	24,14
17	1,19	21,95	25,65
18	1,26	23,24	27,16
19	1,33	24,53	28,67
20	1,4	25,82	30,18
21	1,47	27,11	31,69
22	1,54	28,40	33,20
23	1,61	29,70	34,70
24	1,68	30,99	36,21
25	1,75	32,28	37,72



$$F_{w,Rd} = 2.10.6,46 = 129,2 \, kN$$

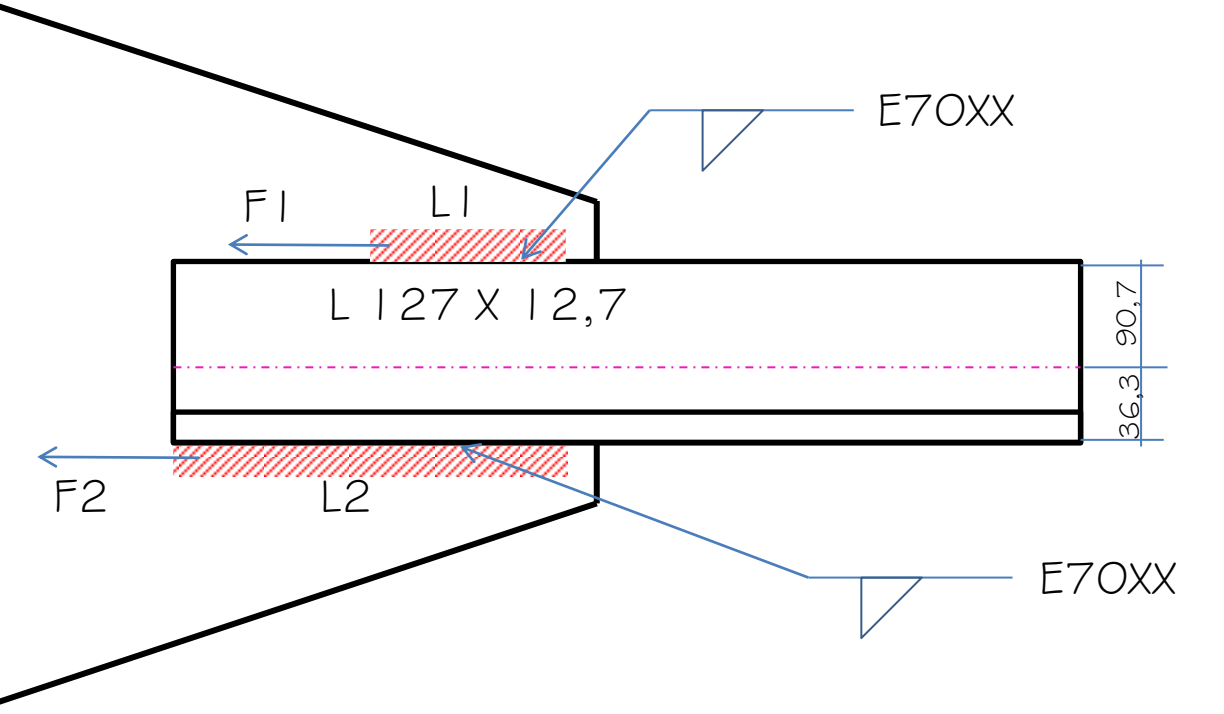
Tabela 10 — Tamanho mínimo da perna de uma solda de filete

Menor espessura do metal-base na junta mm	Tamanho mínimo da perna da solda de filete, $d_{ m w}$ $^{ m a}$ $^{ m mm}$	
Abaixo de 6,35 e até 6,35	3	
Acima de 6,35 até 12,5	5	
Acima de 12,5 até 19	6	
Acima de 19	8	
<sup>a</sup> Executadas somente com um passe.		

### Ligações em Estruturas Metálicas

# Ligações Soldadas

Aula 4



195kN

A equação de equilíbrio de momentos em relação a um ponto no filete inferior fornece:

$$F1.12,7 - 195.3,63 = 0$$

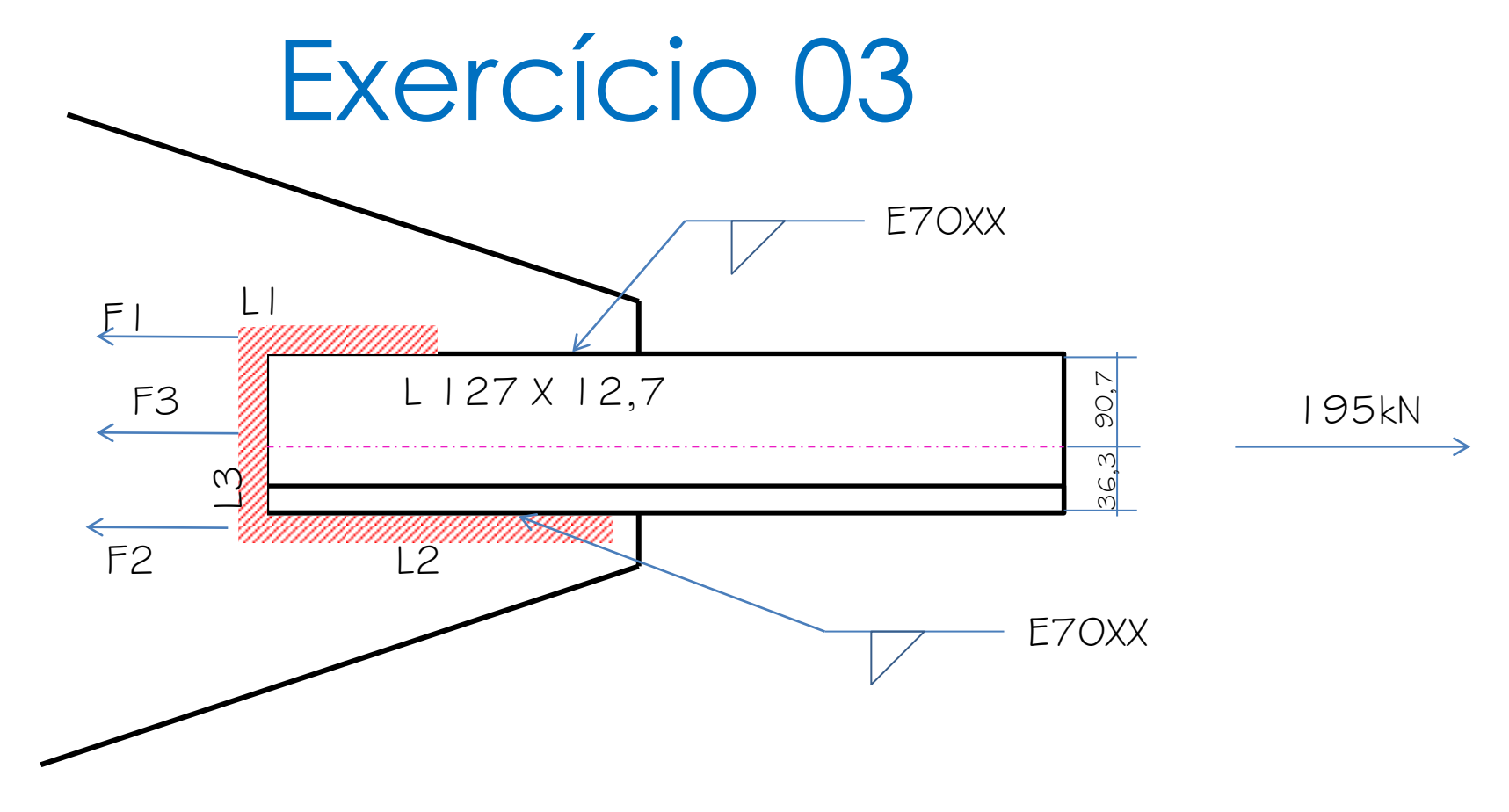
$$F1 = \frac{195.3,63}{12.7} = 55,73kN$$
  $F2 = 195 - 55,73 = 139,3kN$ 

$$F_{w,Rd1} = \frac{0,60.A_w.F_w}{1,35} \rightarrow F_{w,Rd1} = \frac{0,60.0,7.dw.L_1.F_w}{1,35} \rightarrow F_{w,Rd1} = \frac{0,60.0,7.0,5.L_1.48,5}{1,35}$$

$$55,73 = \frac{0,60.0,7.0,5. L_1.48,5}{1,35} \rightarrow L_1 = \frac{55,73.1,35}{0,6.0,7.0,5.48,5} = 7,38cm \sim 80mm$$

$$F_{w,Rd2} = \frac{0,60.\,A_w.\,F_w}{1,35} \rightarrow \quad F_{w,Rd2} = \frac{0,60.0,7.\,dw.\,L_2.\,F_w}{1,35} \rightarrow F_{w,Rd2} = \frac{0,60.0,7.0,5.\,L_2.\,48,5}{1,35}$$

$$139,3 = \frac{0,60.0,7.0,5. L_2.48,5}{1,35} \rightarrow L_2 = \frac{139,3.1,35}{0,6.0,7.0,5.48,5} = 18,46cm \sim 190mm$$



$$F_{w,Rd3} = \frac{0,60.A_w.F_w}{1,35} \rightarrow F_{w,Rd3} = \frac{0,60.0,7.0,5.12,7.48,5}{1,35} \rightarrow 95,8kN$$

$$F_{w,Rd1} = \frac{0,60.A_w.F_w}{1,35} \rightarrow F_{w,Rd1} = \frac{0,60.0,7.0,5.L_1.48,5}{1,35} \rightarrow 7,54.L_1 \qquad F_{w,Rd3} = 7,54.L_2$$

$$7,54 \cdot L_1 + 7,54 \cdot L_2 + 95,8 = 195 \rightarrow 7,54 \cdot (L_1 + L_2) + 95,8 = 195 \rightarrow L_1 + L_2 = 13,15cm$$

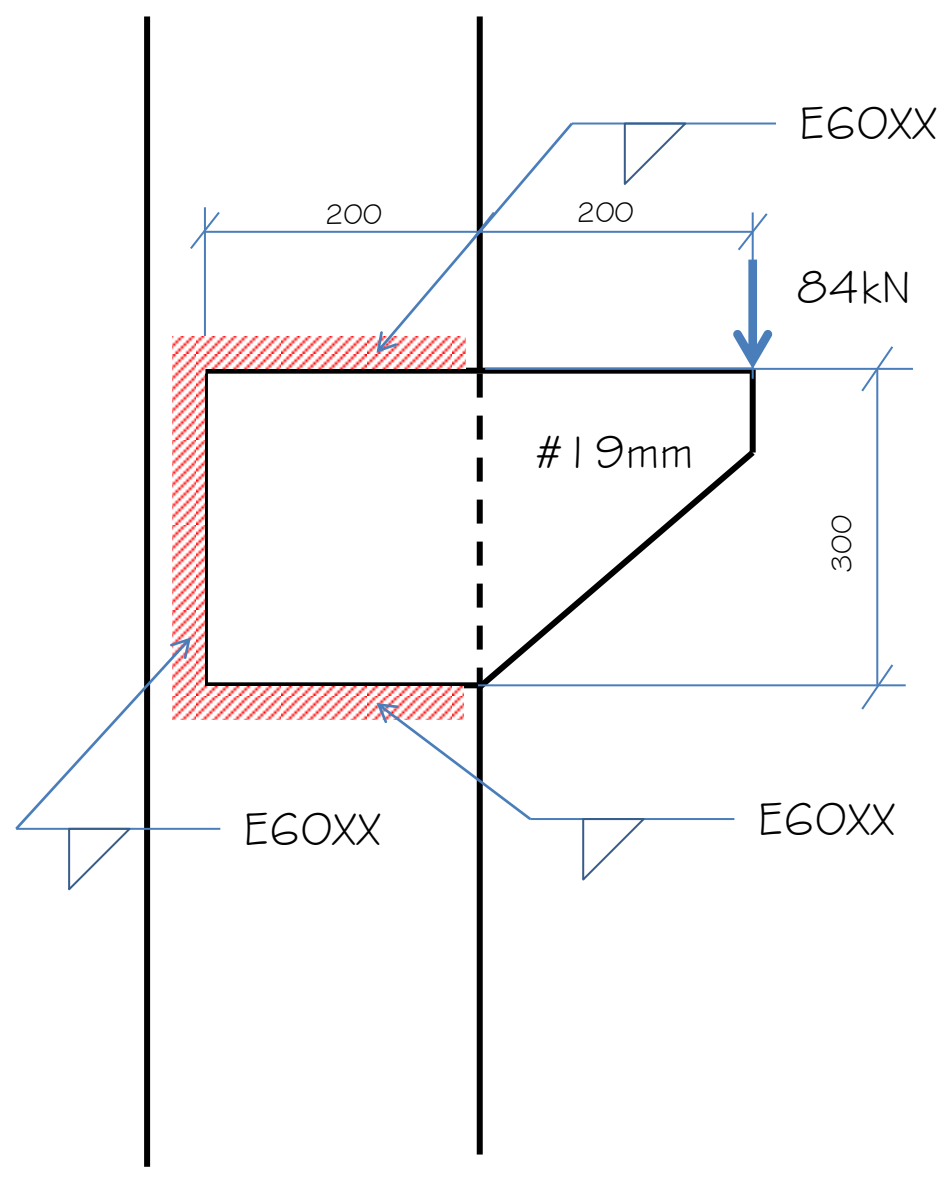
A equação de equilíbrio de momentos em relação a um ponto no filete inferior fornece:

$$F_1 \cdot 12,7 + F_3 \cdot 6,35 - 195 \cdot 3,63 = 0$$

$$7,54 \cdot L_1 \cdot 12,7 + 95,8 \cdot 6,35 - 195 \cdot 3,63 = 0$$

$$L_1 = \frac{707.8 - 608.33}{7.54.12.7} = 1.03cm \sim 20mm$$

$$L_1 + L_2 = 13,15cm \rightarrow 1,03 + L_2 = 13,15 \rightarrow L_2 = 12,12cm \sim 130mm$$

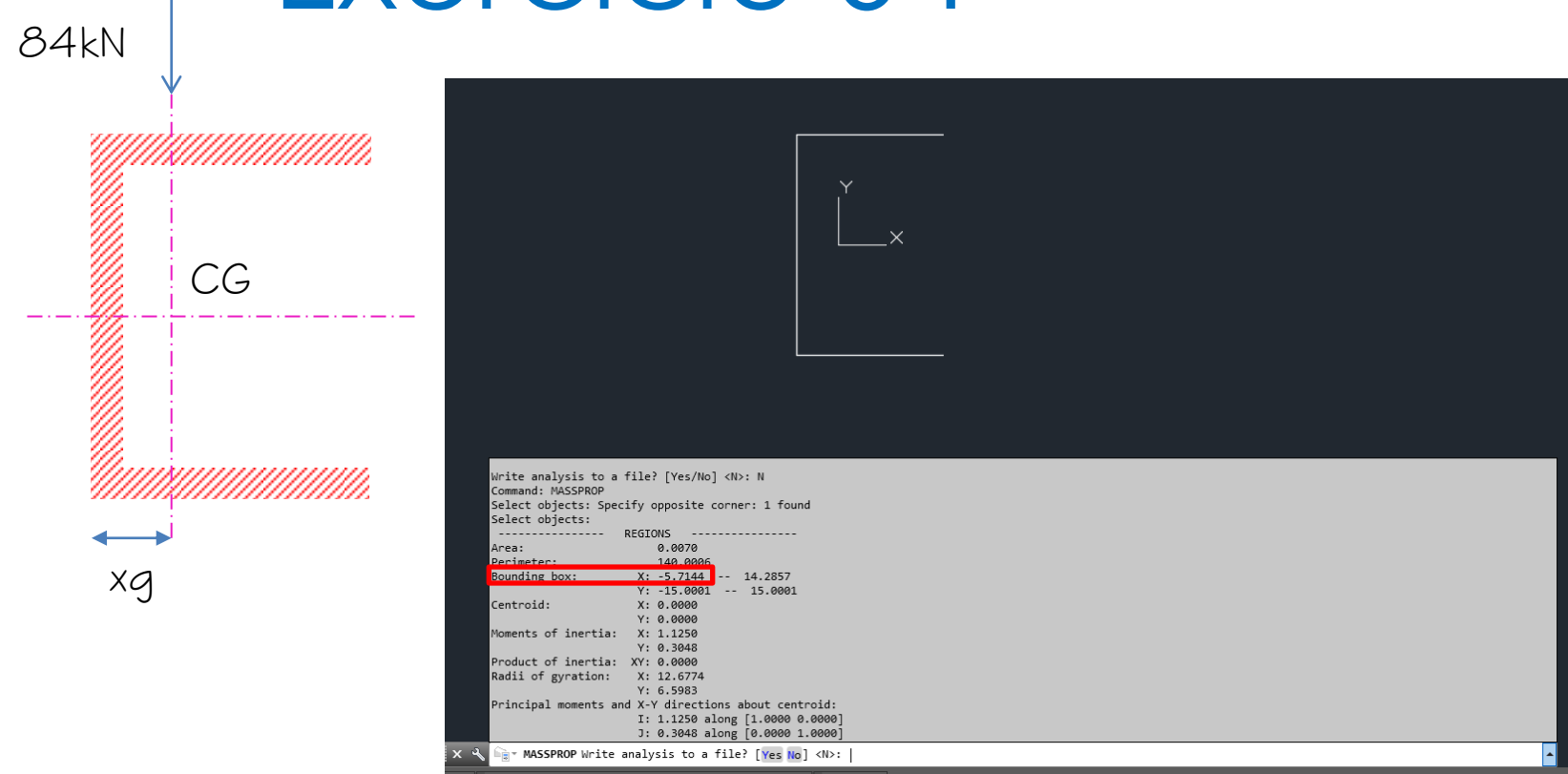


Calcular a ligação do console dado na figura ao lado

Aço ASTM A36

Tabela 10 — Tamanho mínimo da perna de uma solda de filete

Menor espessura do metal-base na junta mm	Tamanho mínimo da perna da solda de filete, $d_{ m w}$ $^{ m a}$ $_{ m mm}$	
Abaixo de 6,35 e até 6,35	3	
Acima de 6,35 até 12,5	5	
Acima de 12,5 até 19	6	
Acima de 19	8	
a Executadas somente com um passe.		



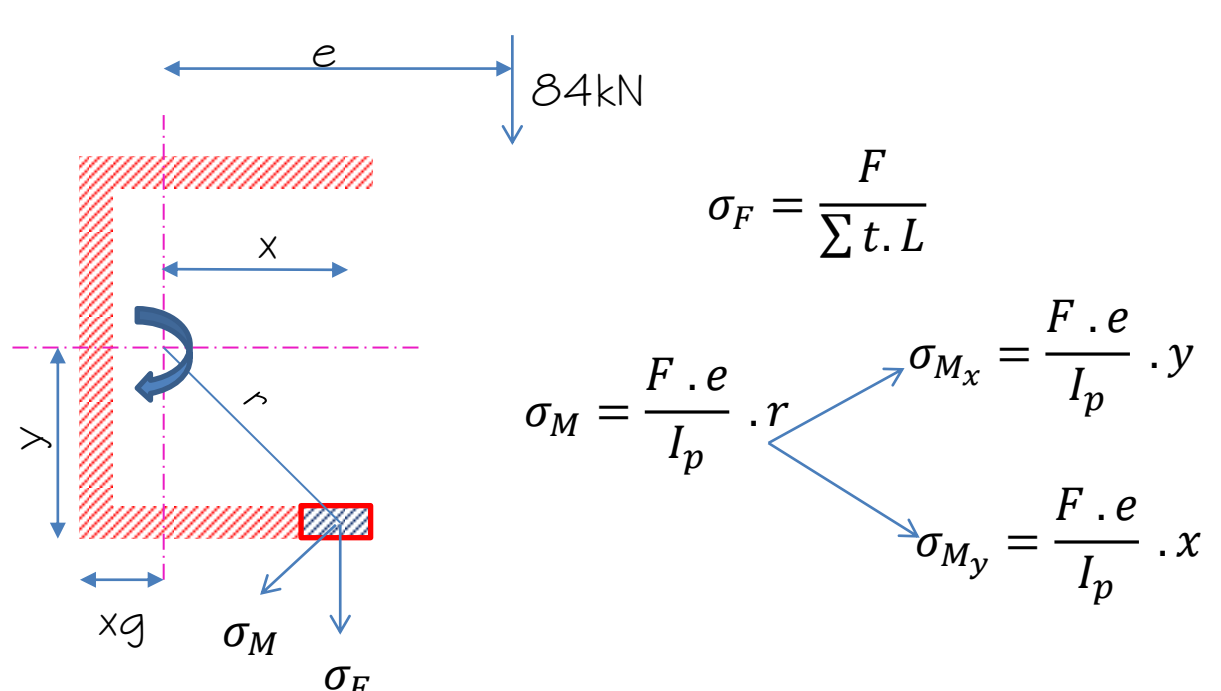
Seções	Módulo resistente $W_x = I_x/y$	Momento de inércia polar $I_p(t=1)$ em relação ao centro de gravidade
	$h^2$	$h^3$
-h-x	6	$\frac{h^3}{12}$
b →		
V	h <sup>2</sup>	$\frac{h\left(3b^2+h^2\right)}{6}$
$\begin{vmatrix} y \\ -\frac{1}{h} - x \end{vmatrix}$	3	6
<u> b </u>		
<del></del>	b.h	$\frac{b(3h^2+b^2)}{6}$
		0
X <sub>a</sub> L <sub>2</sub>		
$y_{g} = \frac{h^{2}}{2(b+h)}$	111 12	$(b+h)^4-6b^2h^2$
49T	$\frac{4bh+h^2}{6}$	$\frac{(b+h)^2-6b^2h^2}{12(b+h)}$
	0	12(0+11)
-b-  2(0+n)		
		$8 b^3 + 6 bh^2 + h^3$
$x_s = \frac{b^2}{2b+h}$	$bh + \frac{h^2}{6}$	12
h -b- 2b+h	6	$-\frac{b^4}{}$
		2b+h
, I+D-I		$b^3 + 6b^2h + 8h^3$
$y_{g} \xrightarrow{1} \xrightarrow{-b \to -b} \qquad \qquad y_{g} = \frac{h^{2}}{b + 2h}$	$\frac{2bh+h^2}{3}$	12
$\begin{array}{cccccccccccccccccccccccccccccccccccc$	3	_ h4
		$-\frac{2h+b}{}$
<b></b> b →	L.1	(h + h)3
† h	$bh + \frac{h^2}{3}$	$\frac{(b+h)^3}{6}$
<u> </u>		V
b		
$y_0 = \frac{1}{1 - 1} = \frac{h^2}{1 - 1}$	$2bh+h^2$	$\frac{b^3 + 8 h^3}{12} - \frac{h^4}{b + 2 h}$
$y_0 \xrightarrow{\downarrow} \xrightarrow{   } \xrightarrow{h} y_g = \frac{h^2}{b+2h}$	3	$12 \qquad b+2h$
- b -	h2	$b^3 + 3bh^2 + h^3$
h	$bh + \frac{h^2}{3}$	6
<u> </u>	*	0
r (médio)		
x (+) x	$\pi r^2$	$2\pi r^3$
O X	π1-	ΔπΓ

$$x_g = \frac{b^2}{2b+h}$$

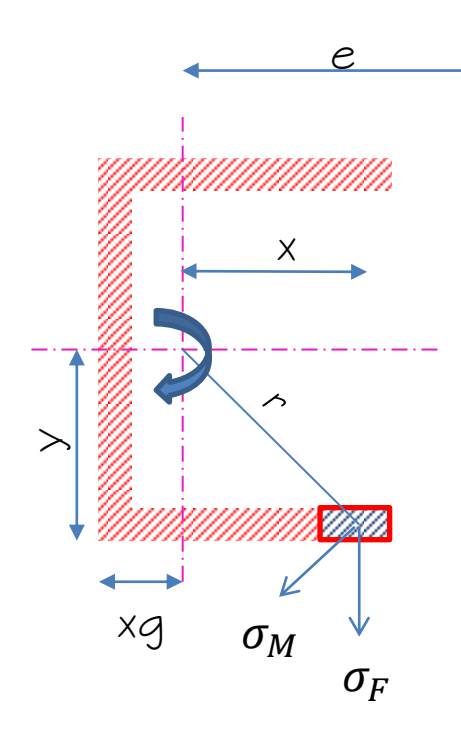
$$x_g = \frac{20^2}{2.20 + 30} = 5,71cm$$

$$I_{p_{(t=1)}} = \frac{8.20^3 + 6.20.30^2 + 30^2 + 30^2}{12} - \frac{20^4}{2.20 + 30} = 14297 cm^4/cm$$

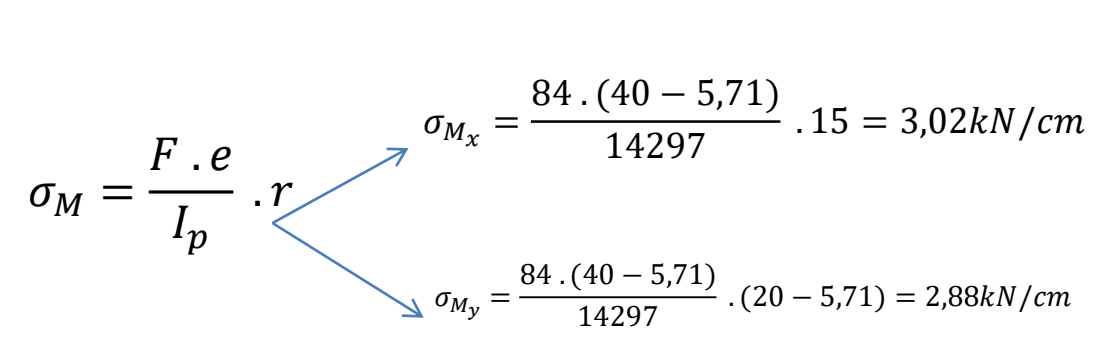
$$I_{p_{(t=0,7.0,6cm)}} = 0.7.0,6.14297 = 6004,74cm^4$$

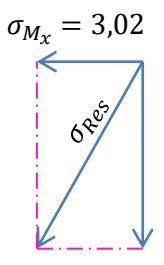


\*84kN



$$\sigma_F = \frac{84}{2.20 + 30} = 1,20 \ kN/cm$$





$$\sigma_{M_y} + \sigma_F = 1,20 + 2,88 = 4,08 \text{ kN. cm}$$

$$\sigma_{Res} = \sqrt{4,08^2 + 3,02^2} = 5,07 \text{ kN/cm}$$

Resistência do Metal de solda

$$F_{w,Rd1} = \frac{0,60.\,A_w.\,F_w}{1,35} \rightarrow \quad F_{w,Rd1} = \frac{0,60.0,7\,.\,0,6\,.\,1\,.41,5}{1,35} \rightarrow 7,74\;kN/cm$$

Aprovado Perna de 6mm

Resistência do Metal Base

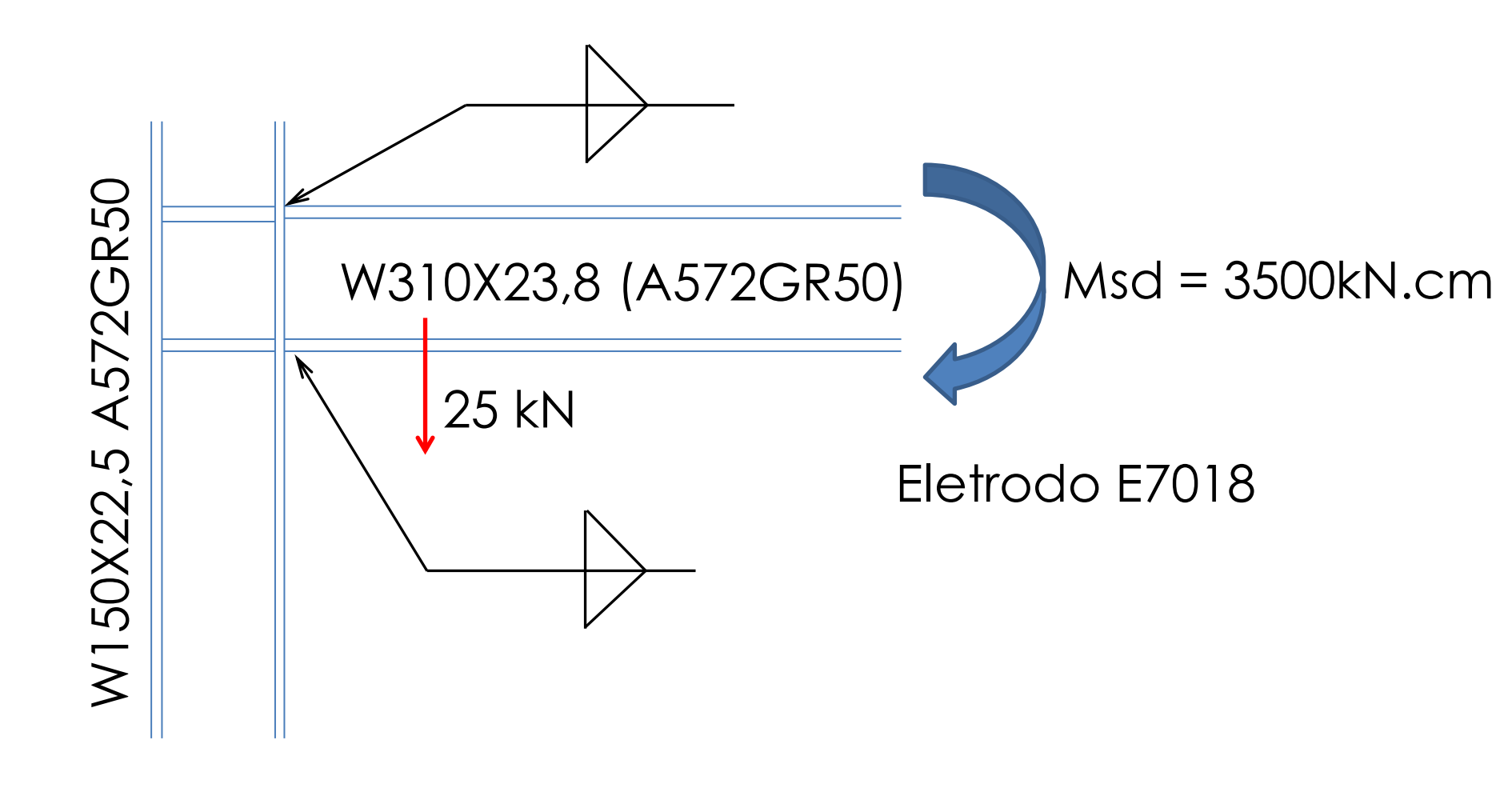
$$F_{w,AMB} = \frac{0,60.\,A_{MB}.\,F_{y}}{1,10} \rightarrow \qquad F_{w,AMB} = \frac{0,60.0,6\,.\,1\,.25}{1,10} \rightarrow 8,18 \\ \frac{kN}{cm} (Atenção, no \ vídeo \ constava \ AMB = 1,9\,.\,1 \ -PDF \ está \ corrigido)$$

### Ligações em Estruturas Metálicas

# Ligações Soldadas

Aula 5

#### Exercício 05 – Dimensione a solda



#### Exercício 05 – Dimensione a solda



Tabela 10 — Tamanho mínimo da perna de uma solda de filete

Menor espessura do metal-base na junta mm	Tamanho mínimo da perna da solda de filete, $d_{ m w}$ $^{ m a}$ $_{ m mm}$
Abaixo de 6,35 e até 6,35	3
Acima de 6,35 até 12,5	5
Acima de 12,5 até 19	6
Acima de 19	8
a Everutadas somente com um nasse	1

Perna Mínima: 5mm Perna Máxima: 5mm

$$\sigma_{mesa} = \frac{M}{W} \ \sigma_{mesa} = \frac{3500}{285} = 12,28kN/cm^2$$

$$F = \sigma_{mesa}$$
. A<sub>mesa</sub> = 12,28 . 10,1 . 0,67 = 83,09kN

$$\sigma_{Solda} = \frac{F}{A_{solda}} = \frac{83,09}{0,5.(10,1+2.4,1)} = 9,08 \text{ kN/cm}^2$$

$$\sigma_R = \sqrt{9.08^2 + \left(rac{25}{36.6.0.5}
ight)^2} = 9.18 rac{kN}{cm^2}$$
 (Em azul não constava no video, PDF corrigido)

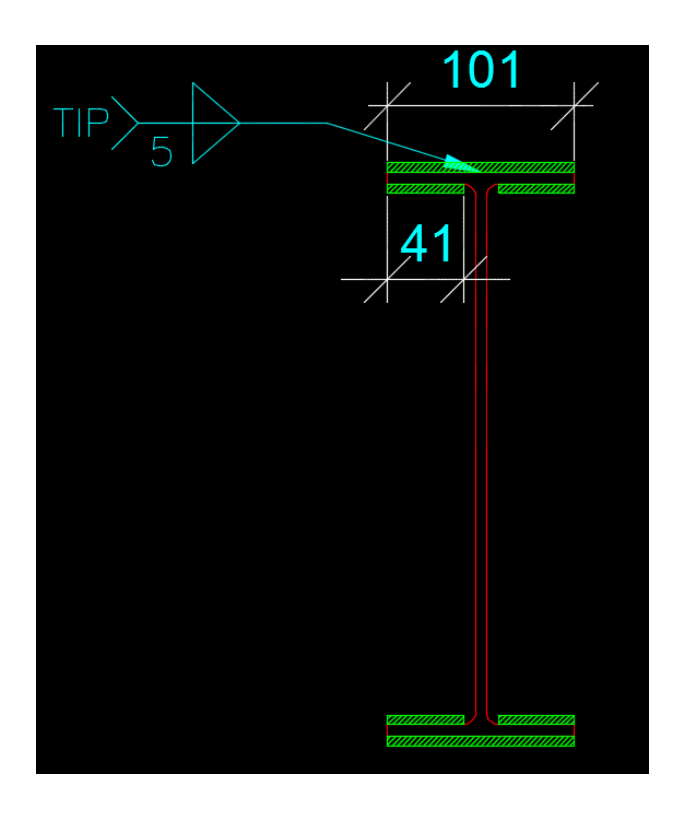
#### Exercício 05 – Dimensione a solda

$$N_{t,Rd} = \frac{0.6. A_w. F_w}{1.35}$$

$$\frac{N_{tRd}}{A_w} = \frac{0.6. F_w}{1.35} = \frac{0.6.48.5}{1.35} = 21.55 kN/cm^2$$

$$N_{t,Rd} = \frac{0.6. A_{MB}. F_y}{1.10}$$

$$\frac{N_{tRd}}{A_{MB}} = \frac{0.6.F_y}{1.10} = \frac{0.6.25}{1.10} = 13.63kN/cm^2$$



Ambas as tensões resistentes são maiores que a tensão solicitante, portanto ligação aprovada